



## 第七章 MaxMin方法

张炜  
计算机科学与工程系



## 参考资料

《算法导论》  
第26章  
《计算机算法设计与分析》  
第7章



## 提纲

- 7.1 网络流算法
- 7.2 匹配算法
- 复习+自学内容
- 7.0.1 图及其表示方法
- 7.0.2 基本图论算法
- 7.0.3 最小生成树算法(参见第5章)
- 7.0.4 单源最短路径算法
- 7.0.5 all-pairs最短路径算法



## 7.1 Maximum Flow

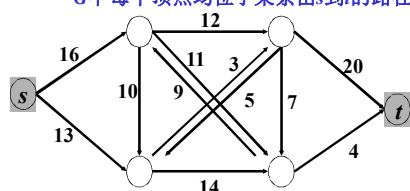
- 7.1.1 流网络与流
- 7.1.2 Ford-Fulkerson方法
- 7.1.3 推送复标算法
- 7.1.4 复标前置算法



## 7.1.1 流网络与流

### 流网络

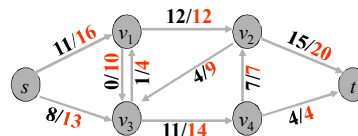
- 是一个有向图 $G=(V,E)$
- $\forall uv \in E$ , 容量 $c(u,v) \geq 0$ ; 如果 $uv \notin E$ , 则容量 $c(u,v) = 0$
- 两个特殊顶点 $s$ 和 $t$ ,  $s$ 称为源(source),  $t$ 称为汇(sink)
- $G$ 中每个顶点均位于某条由 $s$ 到 $t$ 的路径上, 故 $|E| \geq |V|-1$



交通流量网络  
物流网络  
信息网络

### 流网络 $G=(V,E)$ 上的一个流

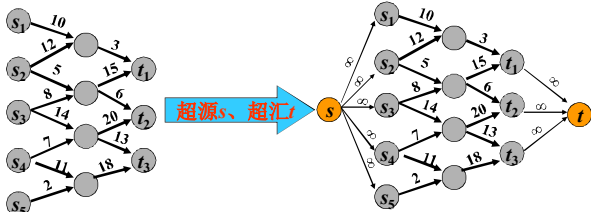
- 是一个实值函数 $f: V \times V \rightarrow R$ , 满足
  - 容量约束:  $f(u,v) \leq c(u,v)$  对  $\forall uv \in E$  成立
  - 反对称性:  $f(u,v) = -f(v,u)$
  - 守恒约束:  $\sum_{v \in V} f(u,v)$  对任意  $u \in V - \{s,t\}$  成立
- $f(u,v)$  称为顶点 $u$ 到顶点 $v$ 的流量, 可为正、负、零值
- 流 $f$ 的值定义为  $|f| = \sum_{v \in V} f(s,v)$



### 守恒约束的其他表述形式

- 总正流量  $\sum_{v \in V, f(u,v) > 0} f(u,v)$
- 总负流量  $\sum_{v \in V, f(u,v) < 0} f(u,v)$
- 守恒约束等价于 总正流量 = -总负流量

### 多源多汇的网络流



只需讨论单源单汇的网络流

### 顶点集之间的流量

- 设  $X, Y \subseteq V$  记  $f(X, Y) = \sum_{x \in X} \sum_{y \in Y} f(x, y)$
- 称  $f(X, Y)$  为顶点集  $X$  和  $Y$  之间的流量
- 守恒约束等价于  $f(u, V) = 0$  对  $\forall u \in V - s - t$
- 上述表示经常用来简化网络流涉及的等式

引理1 设  $f$  是流网络  $G=(V, E)$  中的一个流, 则

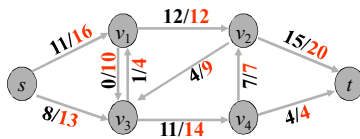
- $f(X, X) = 0$  对  $\forall X \subseteq V$  成立
  - $f(X, Y) = -f(Y, X) \forall X, Y \subseteq V$  成立
  - $\forall X, Y, Z \subseteq V$  且  $X \cap Y = \emptyset$ , 有  
 $f(X \cup Y, Z) = f(X, Z) + f(Y, Z)$   
 $f(Z, X \cup Y) = f(Z, X) + f(Z, Y)$
- 故,  $|f| = f(s, V) = f(V, t) - f(V, s) = -f(V, s) = f(V, V - s) = f(V, t) = f(V, t)$



### 最大流问题

给定流网络  $G=(V, E)$ , 其源为  $s$ , 汇为  $t$ , 找出从  $s$  到  $t$  的最大流.

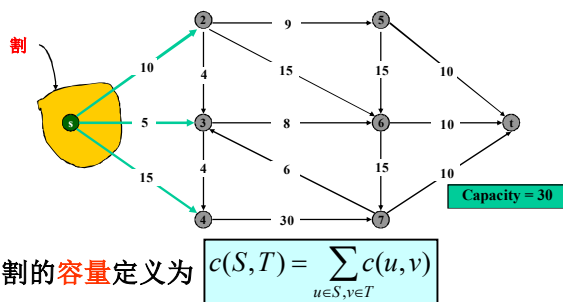
- 怎样高效率地找?



### 割

给定流网络  $G=(V, E)$ , 其源为  $s$ , 汇为  $t$

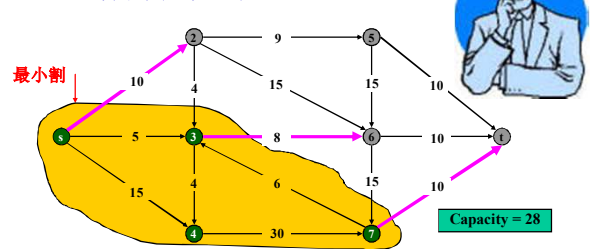
$G$  的一个割 (cut) 是  $V$  的 2-集合划分  $S, T (T=V-S)$  使得  $s \in S, t \in T$



### 最小割问题

给定流网络  $G=(V, E)$ , 其源为  $s$ , 汇为  $t$ , 找出流网络  $G$  中容量最小的割.

- 怎样高效率地找?



## 最大流—最小割间弱对偶关系

**引理2** 给定流网络  $G=(V,E)$ ,  $s$  是源,  $t$  是汇. 设  $f$  是  $G$  上的一个流,  $S, T$  是  $G$  的一个割, 则  $f(S, T) = |f|$ .

**证明:**  $f(S, T) = f(S, V) - f(S, T)$   
 $= f(S, V)$   
 $= f(s, V) + f(S-s, V)$   
 $= f(s, V)$   
 $= |f|$

**引理1第3部分**  
**引理1第1部分**  
**引理1第3部分**  
 $f(S-s, V) = 0$

**引理3** 给定流网络  $G=(V,E)$ . 设  $f$  是  $G$  上的一个流,  $S, T$  是  $G$  的一个割, 则  $|f| \leq c(S, T)$   
 $|f| = f(S, T)$

$$= \sum_{u \in S} \sum_{v \in T} f(u, v)$$

$$\leq \sum_{u \in S} \sum_{v \in T} c(u, v)$$

$$= c(S, T)$$

## 7.1.2 Ford-fulkerson方法

### 算法的基本思想

- 对于当前的流,...
- ...能够找到一条从  $s$  到  $t$  的路径  $p$  (增广路径) 和正实数  $a > 0$ , 使得  $p$  上的每条边  $uv$  的流量增加  $a$  之后仍然满足容量约束, 即  $f(u, v) + a \leq c(u, v)$
- 则将  $p$  上每条边的容量增加  $a$ , 得到一个更大的流
- 你能发现如下网络中的增广路径吗?

## Ford-fulkerson算法概要

**算法Ford-Fulkerson( $G, s, t$ )**  
**Input** 流网络  $G$ , 源  $s$ , 汇  $t$   
**Output**  $G$  中从  $s$  到  $t$  的最大流

- 1 初始化所有边的流量为0
- 2 while 存在增广路径  $p$  do
- 3 沿路径  $p$  增大流量得到更大的流  $f$
- 4 return  $f$

- 增广路径如何找?
- 增广路径上可以增加的流量有多大?
- 该方法总能找到最大流吗?

## Residual Network

### 增广路径如何找?

- 增广路径是Residual network中从  $s$  到  $t$  的路径
- Residual capacities:  $c_f(u, v) = c(u, v) - f(u, v)$
- Residual network:  $G_f = (V, E_f)$ , 其中  
 $E_f = \{(u, v) \in V \times V \mid c_f(u, v) > 0\}$
- $f(u, v) < c(u, v)$ , 则  $c_f(u, v) = c(u, v) - f(u, v) > 0$ ,  $(u, v) \in E_f$   
 $f(u, v) > 0$  则  $c_f(v, u) = c(v, u) - f(v, u) > 0$ ,  $(v, u) \in E_f$   
 $c(u, v) = c(v, u) = 0$ , 则  $f(u, v) = f(v, u) = 0$ , 进而  $c_f(u, v) = c_f(v, u) = 0$
- 注意:  $E_f$  中的边要么是  $E$  中的边, 要么是  $E$  中边的反向边:  
 $|E_f| \leq 2|E|$
- Residual Network本身也可以看成是流网络

## Residual Network

## Residual Network

**引理4** 给定流网络  $G=(V,E)$ ,  $s$  是源,  $t$  是汇;  $f$  是  $G$  上的一个流.  $G_f$  是流  $f$  在  $G$  上导出的Residual Network,  $f'$  是  $G_f$  上的一个流. 则  $f+f'$  是  $G$  上值为  $|f|+|f'|$  的流.  
 其中,  $(f+f')(u, v) = f(u, v) + f'(u, v)$

**证明: (作业)**

- (1) 验证反对称性
- (2) 验证容量约束
- (3) 验证守恒约束
- (4) 验证  $|f+f'| = |f| + |f'|$



## 增广路径的剩余容量

增广路径上可以增大多少流量？

- $P$  是  $G_f$  中的一条增广路径
  - 其剩余容量  $c_f(p) = \min\{c_f(u,v) : (u,v) \text{ 是路径 } p \text{ 上的边}\}$
- 增广过程：对路径  $p$  上的每条边  $uv$ 
  - 要么在边  $uv$  的流量上增加  $c_f(p)$ , 即  $f(u,v) = f(u,v) + c_f(p)$
  - 要么在边  $vu$  的流量上减去  $c_f(p)$ , 即  $f(v,u) = f(v,u) - c_f(p)$
  - 具体属于哪种情况, 根据  $G$
- 增广过程完成后, 得到值更大的流



## Ford-fulkerson算法

算法 Ford-Fulkerson( $G, s, t$ )

Input 流网络  $G$ , 源  $s$ , 汇  $t$

Output  $G$  中从  $s$  到  $t$  的最大流

1. For  $\forall uv \in E[G]$  do
2.  $f(u,v) \leftarrow 0$
3.  $f(v,u) \leftarrow 0$
4. while  $G_f$  存在增广路径  $p$  do
5.  $c_f(p) = \min\{c_f(u,v) \mid uv \text{ 是 } p \text{ 上的边}\}$
6. For  $p$  上的每条边  $uv$  do
7.  $f(u,v) \leftarrow f(u,v) + c_f(p)$
8.  $f(v,u) \leftarrow f(v,u) - c_f(p)$



## Ford-fulkerson算法的正确性

引理4 (最大流-最小割定理) 给定流网络  $G=(V,E)$ ,  $s$  是源,  $t$  是汇;  $f$  是  $G$  上的一个流. 则下列论断等价.

- (1)  $f$  是最大流;
- (2)  $G_f$  中不存在增广路径
- (3) 对  $G$  的某个割  $(S,T)$ ,  $|f| = c(S,T)$

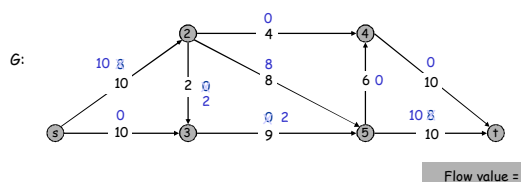
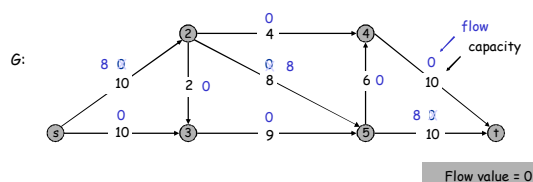
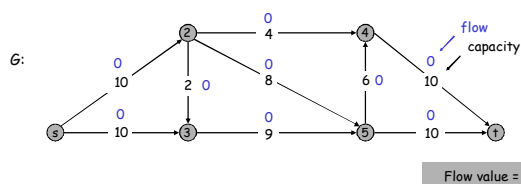
证明: (1) $\Rightarrow$ (2) 反证. 设  $p$  是  $G_f$  是最大流  $f$  对应的增广路径, 其剩余容量为  $f_p$ . 由引理4知道,  $f+f_p$  是一个值比  $|f|$  的流. 这与  $f$  是最大流矛盾.

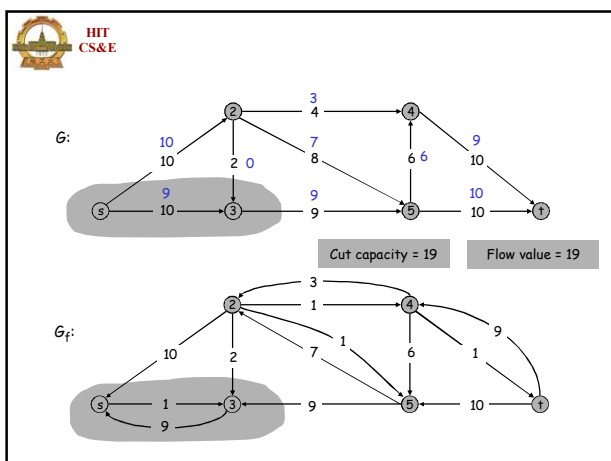
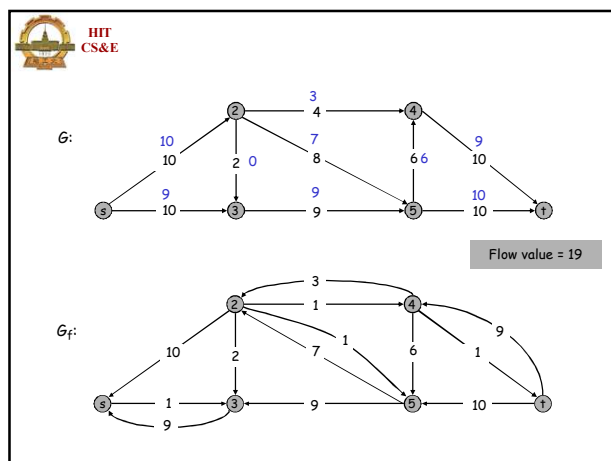
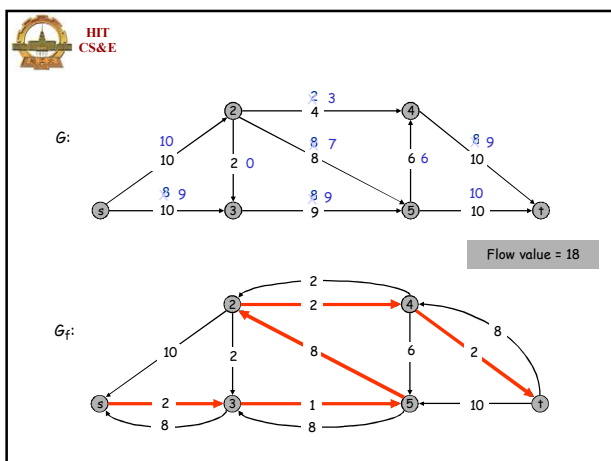
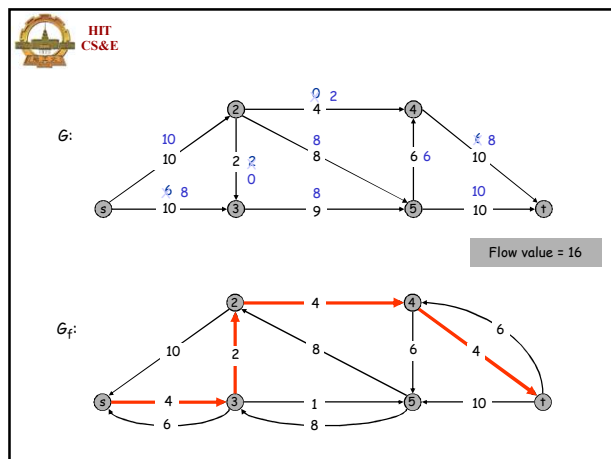
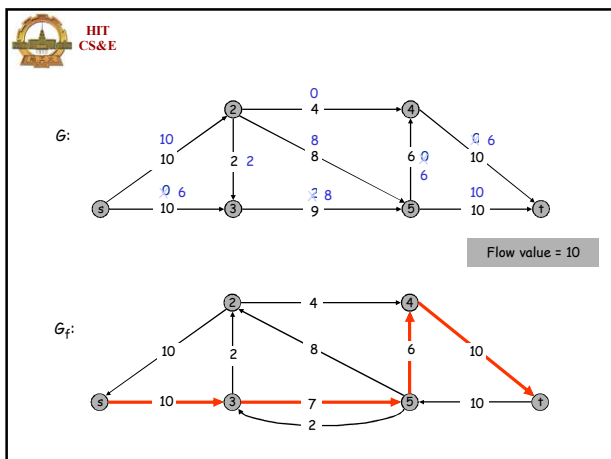
(2) $\Rightarrow$ (3) 由于  $G_f$  中没有从  $s$  到  $t$  的路径, 定义  $S = \{v : G_f \text{ 中存在从 } s \text{ 到 } v \text{ 的路径}\}$ ,  $T = V - S$ . 显然  $s \in S$  且  $t \in T$ .  $\forall u \in S$  且  $v \in T$ ,  $f(u,v) = c(u,v)$ , 否则  $uv \in E_f$  进而导致  $v \in S$ . 于是  $S, T$  是  $G$  的一个割. 由引理3知道  $|f| = f(S,T) = c(S,T)$

(3) $\Rightarrow$ (1) 引理2表明  $|f| \leq c(S,T)$ , 故  $|f| = c(S,T)$  表明  $f$  是最大流.



例





### Ford-fulkerson算法的复杂性

- Ford-Fulkerson算法的时间复杂度取决于增广路径的选择过程？
  - 如果实现方法不当，可能导致算法的长时间不停
  - 如果所有容量限制为整数（有理数可以先变换称整数）
    - While循环至多循环 $|f^*|$ 次，因为每次循环均导致 $|f|$ 增大
    - 维护 $G'=(V,E')$ ,  $E'=\{uv \mid uv \in E \text{ 或 } vu \in E\}$ ;  $G_f$ 的边为 $G'$ 中满足 $c(u,v)-f(u,v) \neq 0$ 的边
    - 使用BFS或DFS查找增广路径的时间为 $O(V+E')=O(E)$
  - 算法的时间复杂度为 $O(|f^*|E)$
  - 如果算法用BFS选择增广路径(Edmonds-Karp算法)
    - 可以证明算法的时间复杂度为 $O(VE^2)$



HIT

CS&E


7.1.4 推送复标算法

• Ford-Fulkson算法
 

- ✓ 构造剩余网络
- ✓ 选取s-t增广路径来增大流值
- ✓ 具有全局优化的观点

• 能否只考虑顶点的局部情况
 

- ✓ 逐个顶点查看
- ✓ 仅查看其邻接点
- ✓ 确定流值的变化



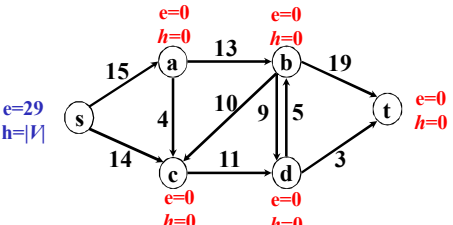
HIT


CS&E

基本思想

• 将流网络看成管道网络
 

- ✓ 顶点具有库存能力,  $s.e = \sum_{u \in E} c(uv), u.e = 0$
- ✓ 顶点具有不同高度,  $s.h = |V|, u.h = 0$
- ✓ 液体将怎么流动?





HIT

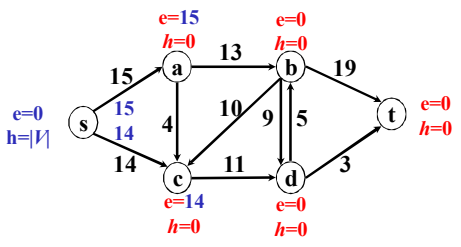
CS&E


将流网络看成管道网络

• 顶点具有库存能力,  $s.e = \sum_{u \in E} c(uv), u.e = 0$

• 顶点具有不同高度,  $s.h = |V|, u.h = 0$

• 从高度较高的顶点流向高度较低的顶点





HIT

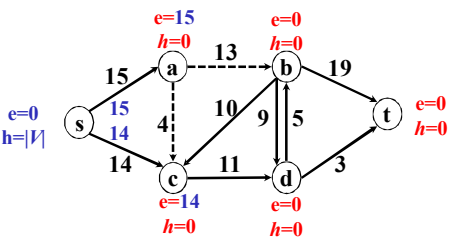
CS&E


• a有库存, 但a的高度可能流动顶点高度一样

✓ 修改高度(复标高度)

✓ 确保流可以继续流动

✓ 如何修改a的高度?





HIT

CS&E

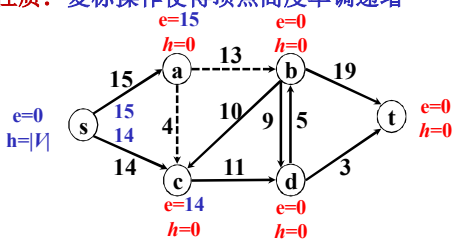
复标操作


• u有库存, 但u的高度与可能流动顶点高度一样
 

- ✓  $u.e > 0$
- ✓  $uv \in E_f (c(uv) - uv.f > 0, \text{剩余网络边}), u.h \leq v.h$

操作:  $u.h = 1 + \min\{v.h : uv \in E_f\}$

性质: 复标操作使得顶点高度单调递增





HIT

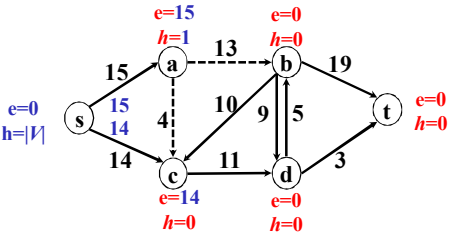
CS&E

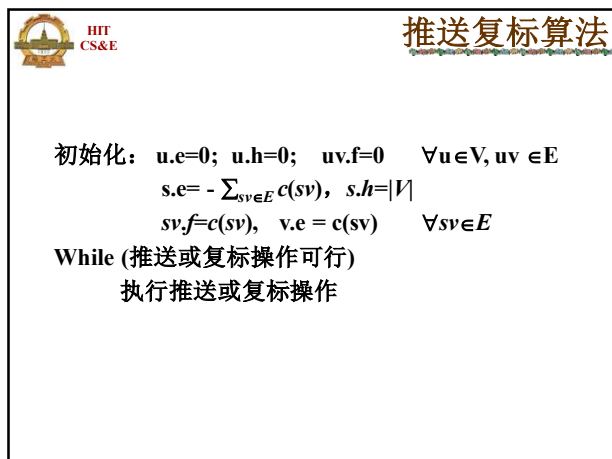
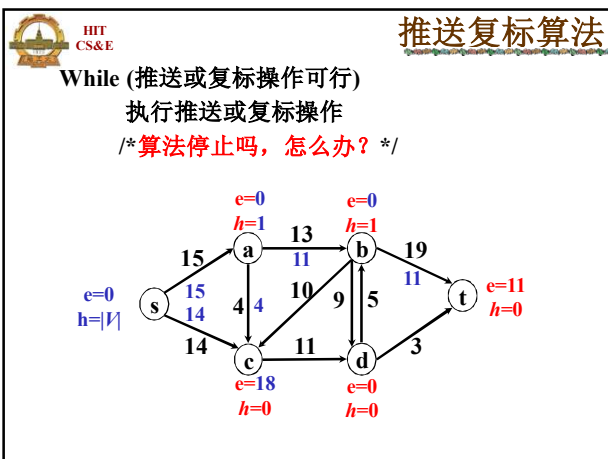
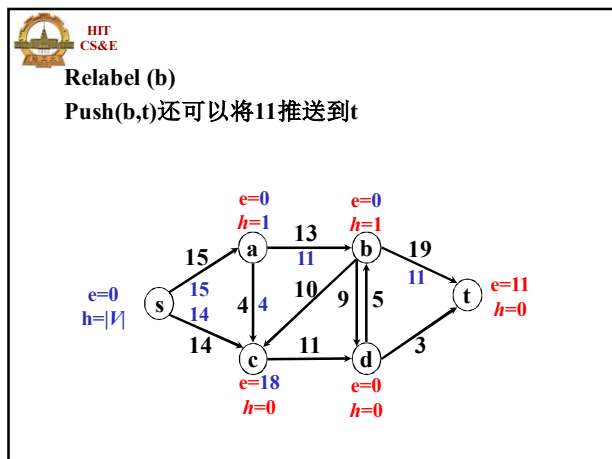
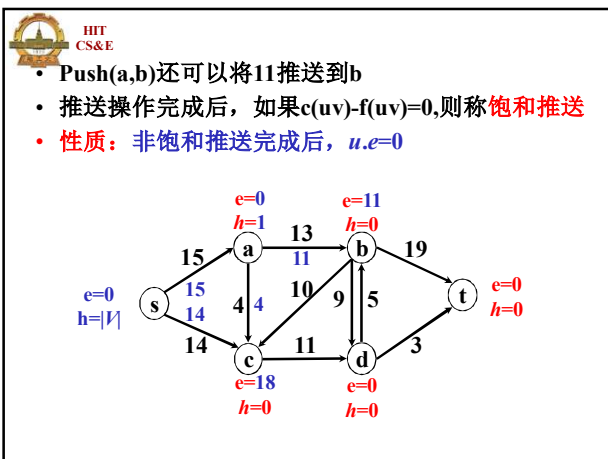
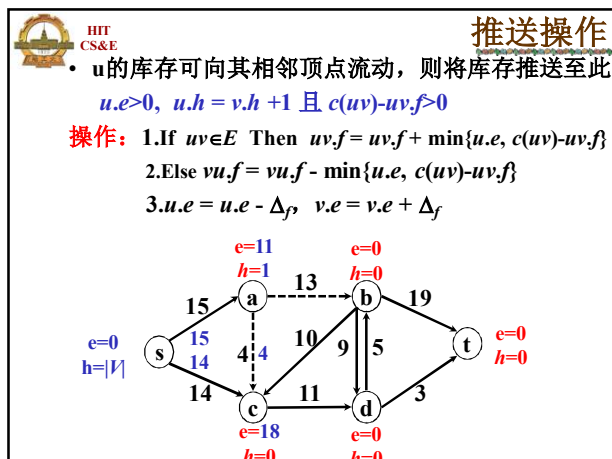
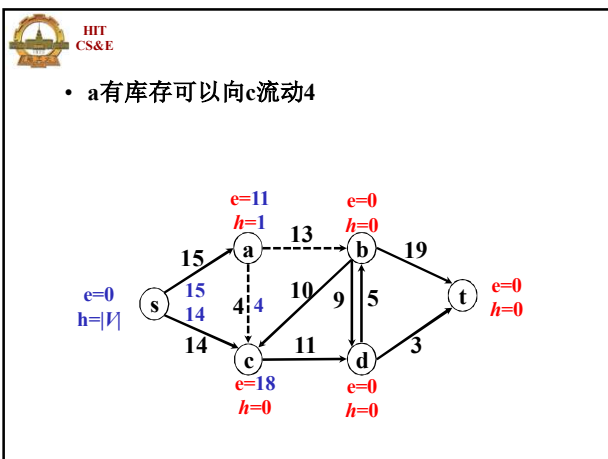
• a有库存, 但a的高度与其他顶点高度一样

✓ 修改高度(复标高度)

✓ 确保流可以继续流动

✓  $a.h = 1 + \min\{c.h, b.h\} = 1$







## 推送复标算法的分析

定义1. 给定 $s$ - $t$ 流网络 $G=(V,E)$ ,  $c: E \rightarrow R^+$ ,

(1) 映射 $f: V \times V \rightarrow R^+$ 称为一个**预流**, 如果

$$\sum_{v \in I} f(vu) - \sum_{v \in I} f(uv) \geq 0 \quad u \in V - \{s\}$$

(2)  $u.e = \sum_{v \in I} f(vu) - \sum_{v \in I} f(uv)$ 称为 $u$ 的**超额流**

(3) 如果 $u \in V - \{s, t\}$ 且 $u.e > 0$ , 则称 $u$ 为**溢出顶点**

(4) 如果 $c(uv) - f(uv) > 0$ , 则称 $uv$ 为**剩余边**, 记 $uv \in E_f$



定义2. 给定 $s$ - $t$ 流网络 $G=(V,E)$ ,  $c: E \rightarrow R^+$ 和一个预流 $f$ , 函数 $h: V \rightarrow N_0$ 称为一个**高度函数**, 如果

$$h(s)=|V|, \quad h(t)=0, \quad h(u) \leq h(v)+1 \quad uv \in E_f$$

引理1. (1) 对于高度函数 $h$ 和预流 $f$ , 如果 $h(u) > h(v)+1$ , 则 $uv$ 不是剩余边, 即 $uv \notin E_f$

(2) 推送复标算法初始化得到一个预流和一个高度函数。

(3) 给定在预流 $f$ 和其上的一个高度函数, 则执行推送操作仍得到一个预流 $f'$ 。复标高度仍得到一个高度函数。

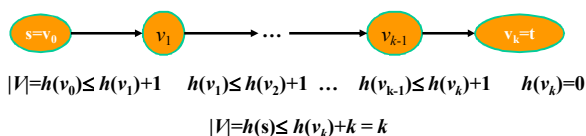
(4) 在 $uv$ 上执行非饱和推送后,  $u.e=0$ ;

(5) 复标操作使得顶点高度单调递增;

(6) 推送复标算法不改变 $s$ 和 $t$ 的高度



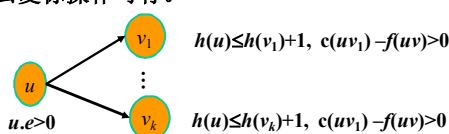
引理2. 给定 $s$ - $t$ 流网络 $G=(V,E)$ , 对于任意预流 $f$ 及其上的高度函数 $h$ , 在剩余网络 $(V, E_f)$ 中不存在 $s$ 到 $t$ 的路径。



路径长度大于顶点个数, 矛盾



引理3. 给定 $s$ - $t$ 流网络 $G=(V,E)$ , 对于任意预流 $f$ 及其上的高度函数 $h$ 。如果 $u.e > 0$ , 则要么推送操作可行, 要么复标操作可行。



若推送操作不可行, 则 $h(u)=h(v_i)+1$ 对任意 $v_i$ 不成立, 即

$h(u) < h(v_i)+1$ 对任意 $v_i$ 成立, 即复标操作可行



引理4. 如果推送算法终止, 则最后的预流是最大流。

初始化: 算法初始化是预流

循环: 每次推送操作或复标操作后, 仍是预流

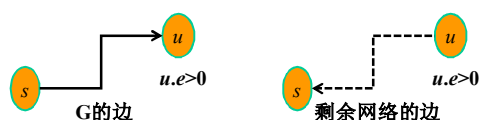
终止: 算法结束后得到一个预流 $f$

由引理3, 此时 $u.e=0$ 对任意 $u \neq s, t$ 成立, 故 $f$ 是流

由引理2, 剩余网络中不存在 $s$ - $t$ 路径, 由最大流最小割定理,  $f$ 是最大流



引理5. 给定 $s$ - $t$ 流网络 $G=(V,E)$ , 对于任意预流 $f$ 及其上的高度函数 $h$ 。如果 $u.e > 0$ , 则在剩余网络中存在 $u$ - $s$ 路径。







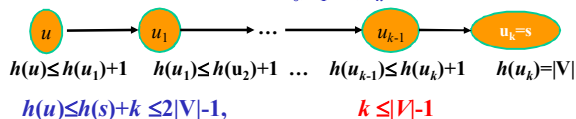
**引理6.** 给定 $s$ - $t$ 流网络 $G=(V,E)$ , 则对于任意顶点 $u$ , 在推送复标算法运行过程的任意时刻,  $h(u) \leq 2|V|-1$ .

若 $u=s$ , 则 $h(s)=|V|$ 不变, 结论成立

若 $u=t$ , 则 $h(t)=0$ 不变, 结论成立

若 $u \neq s, t$ , 初始时,  $h(u)=0$

对 $u$ 的每次复标操作时( $u.e > 0$ ), 由引理5, 剩余网络中存在 $u$ - $s$ 路径 $u=u_0, u_1, \dots, u_k=s$



**引理7.** 给定 $s$ - $t$ 流网络 $G=(V,E)$ , 则推送复标算法在 $G$ 上至多执行 $(2|V|-1)(|V|-1) \leq 2|V|^2$ 次复标操作。

若 $s, t$ 上永远不执行复标操作

对于其余每个顶点 $u$  (共 $|V|-1$ 个顶点)

$h(u)$ 的初始值为0

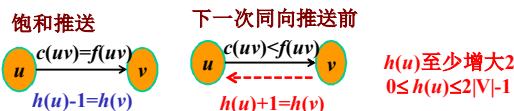
每次复标使得 $h(u)$ 增大, 且引理6表明 $h(u) \leq 2|V|-1$ 故在 $u$ 上至多执行 $2|V|-1$ 次复标操作



**引理8.** 给定 $s$ - $t$ 流网络 $G=(V,E)$ , 则推送复标算法在 $G$ 上至多执行 $2|V||E|$ 次饱和和推送操作。

$\forall u, v \in V$ , 考察 $u$ 和 $v$ 之间饱和和推送的总次数

- 从 $u$ 到 $v$ 的饱和和推送
- 从 $v$ 到 $u$ 的饱和和推送
- $uv \in E$ 或 $vu \in E$  顶点对的个数 $\leq |E|$



- 从 $u$ 到 $v$ 的饱和和推送至多 $|V|$ 次
- 同理, 从 $v$ 到 $u$ 的饱和和推送至多 $|V|$ 次

**引理9.** 给定 $s$ - $t$ 流网络 $G=(V,E)$ , 则推送复标算法在 $G$ 上至多执行 $4|V|^2(|V|+|E|)$ 次非饱和和推送操作。

定义 $\phi = \sum_{u.e > 0} h(u)$  初始时,  $\phi=0$ 且 $\phi \geq 0$ 恒成立

复标顶点 $u$ 使得其高度增加, 导致 $\phi$ 增大  
 顶点 $u$ 上的所有复标操作, 导致 $\phi$ 增大总量 $\leq 2|V|-1$   
 所有复标操作导致 $\phi$ 的总增量 $\leq 2|V|^2$

**饱和和推送** 推送前:  $u.e > 0, v.e=0$ 或 $v.e > 0$   
 推送后:  $u.e=0$ 或 $u.e > 0, v.e > 0$   
 每次饱和和推送导致 $\phi$ 的增量 $\leq 2|V|$   
 所有饱和和推送导致 $\phi$ 的增量 $\leq 2|V| \cdot 2|V||E|$

**非饱和和推送** 推送前:  $u.e > 0, v.e=0$ 或 $v.e > 0$   
 推送后:  $u.e=0, v.e > 0$   
 每次非饱和和推送导致 $\phi$ 至少减小1

由于 $\phi \geq 0$ 恒成立, 总增量 $\geq$ 总减量



**定理10.** 给定 $s$ - $t$ 流网络 $G=(V,E)$ , 则推送复标算法在 $G$ 上至多执行 $O(|V|^2|E|)$ 次基本操作后终止。

由引理7, 算法至多执行 $2|V|^2$ 次复标操作

由引理8, 算法至多执行 $2|V||E|$ 次饱和和推送操作

由引理9, 算法至多执行 $4|V|^2(|V|+|E|)$ 次非饱和和推送操作



## 7.1.5 前置复标算法

### 推送复标算法

- 以不确定的顺序选择推送、复标顶点
- 对每个顶点的处理不彻底
  - ✓ 对 $u$ 的推送或复标操作后,  $u.e > 0$
  - ✓ 可能转而处理其他顶点

• 时间复杂性 $O(V^2E)$

### 提高算法性能的着手点

- 如果精细选择推送、复标操作顺序
- 对每个顶点进行彻底处理, 处理后 $u.e=0$



## DisCharge操作

### 彻底处理顶点 $u$

- $u.e > 0$ , 则要么推送操作可行, 要么复标操作可行
- 重复在 $u$ 顶点处进行推送或复标操作, 直到 $u.e = 0$
- 仅需考察 $u$ 的相邻顶点
- 对 $u$ 维护的邻接链表 $L(u)$   $v \in L(u) \Leftrightarrow uv \in E$  或  $vu \in E$

### DisCharge( $u$ )

While  $u.e > 0$

$v \leftarrow L(u).current$  /\*考察当前处理的顶点\*/  
 If  $v = \text{Null}$  Then **ReLabel( $u$ )**,  $L(u).current = L(u).head$   
 ElseIf  $c(uv) - f(uv) > 0$  且  $u.h = v.h + 1$  Then **Push( $u$ )**  
 Else  $L(u).current \leftarrow L(u).next$

### 考虑初始化操作之后DisCharge( $c$ )的执行过程

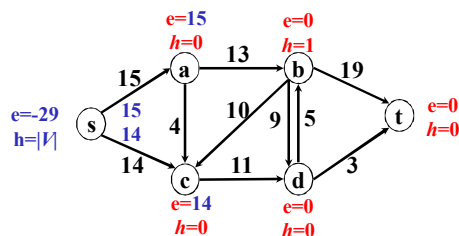
$L(c):$ 

s	a	b	d	Null
---	---	---	---	------

$v = s \neq \text{Null}$ ,

不执行复标操作

$c(cs) - f(cs) = 0 - (-14) = 14$  但  $c.h \neq s.h + 1$  不执行Push



### 考虑初始化操作之后DisCharge( $c$ )的执行过程

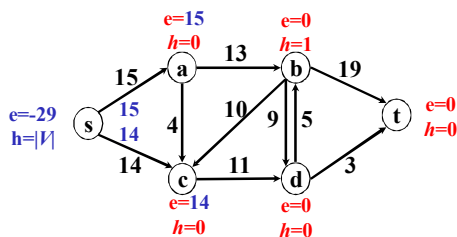
$L(c):$ 

s	a	b	d	Null
---	---	---	---	------

$v = a \neq \text{Null}$ ,

不执行复标操作

$c(ca) - f(ca) = 0 - 0 = 0$  不执行推送操作



### 考虑初始化操作之后DisCharge( $c$ )的执行过程

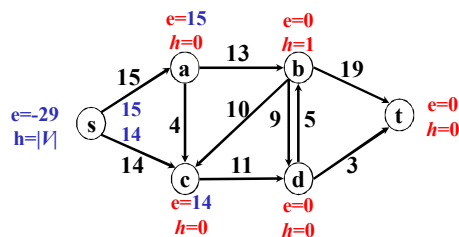
$L(c):$ 

s	a	b	d	Null
---	---	---	---	------

$v = b \neq \text{Null}$ ,

不执行复标操作

$c(cb) - f(cb) = 0 - 0 = 0$  不执行推送操作



### 考虑初始化操作之后DisCharge( $c$ )的执行过程

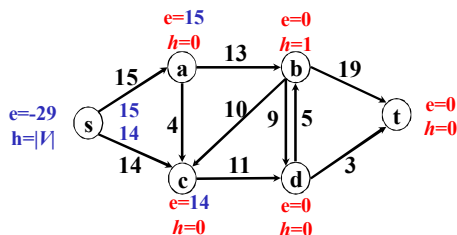
$L(c):$ 

s	a	b	d	Null
---	---	---	---	------

$v = d \neq \text{Null}$ ,

不执行复标操作

$c(cd) - f(cd) = 11$  但  $c.h \neq d.h + 1$  不执行推送操作



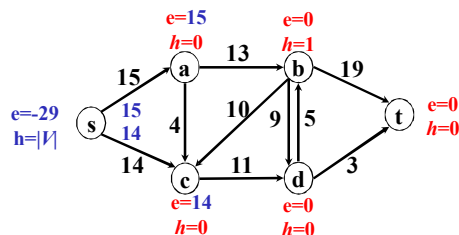
### 考虑初始化操作之后DisCharge( $c$ )的执行过程

$L(c):$ 

s	a	b	d	Null
---	---	---	---	------

$v = \text{Null}$ ,

执行复标操作

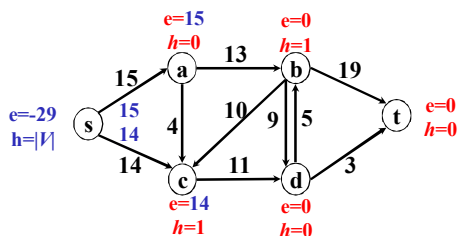


考虑初始化操作之后DisCharge(c)的执行过程

L(c): 

s	a	b	d	Null
---	---	---	---	------

$v = \text{Null}$  , 执行复标操作

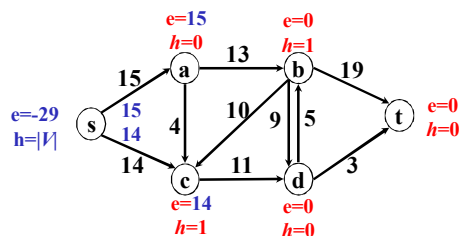


考虑初始化操作之后DisCharge(c)的执行过程

L(c): 

s	a	b	d	Null
---	---	---	---	------

$v = s \neq \text{Null}$  , 不执行复标操作  
 $c(cs) - f(cs) = 0 - (-14) = 14$  但  $c.h \neq s.h + 1$  不执行Push

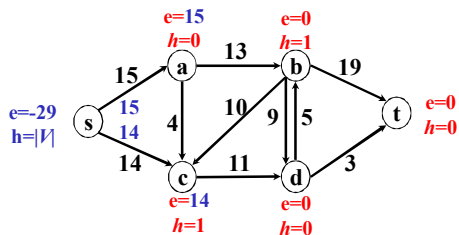


考虑初始化操作之后DisCharge(c)的执行过程

L(c): 

s	a	b	d	Null
---	---	---	---	------

$v = a \neq \text{Null}$  , 不执行复标操作  
 $c(ca) - f(ca) = 0 - 0 = 0$  不执行推送操作

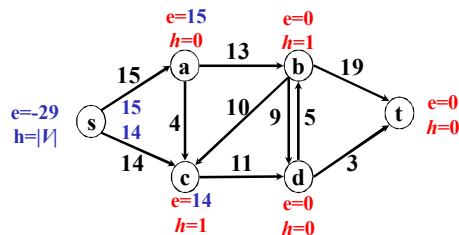


考虑初始化操作之后DisCharge(c)的执行过程

L(c): 

s	a	b	d	Null
---	---	---	---	------

$v = b \neq \text{Null}$  , 不执行复标操作  
 $c(cb) - f(cb) = 0 - 0 = 0$  不执行推送操作

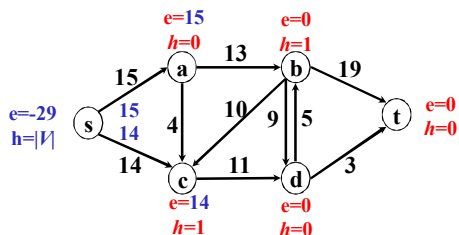


考虑初始化操作之后DisCharge(c)的执行过程

L(c): 

s	a	b	d	Null
---	---	---	---	------

$v = d \neq \text{Null}$  , 不执行复标操作  
 $c(cd) - f(cd) = 11$  且  $c.h = d.h + 1$  执行Push操作

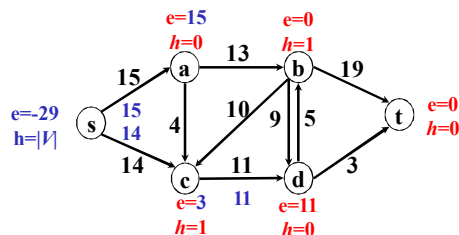


考虑初始化操作之后DisCharge(c)的执行过程

L(c): 

s	a	b	d	Null
---	---	---	---	------

$v = d \neq \text{Null}$  , 不执行复标操作  
 $c(cd) - f(cd) = 11$  且  $c.h = d.h + 1$  执行Push操作

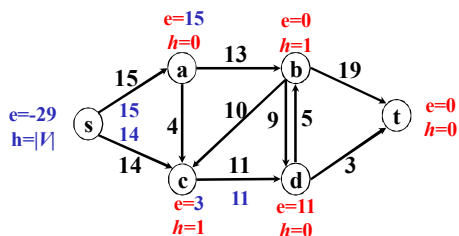


考虑初始化操作之后DisCharge(c)的执行过程

L(c): 

s	a	b	d	Null
---	---	---	---	------

v=Null, 执行复标操作  
 $c.h = 1 + \min \{v.h \mid c(cv)-f(cv)>0\} = |V|+1$

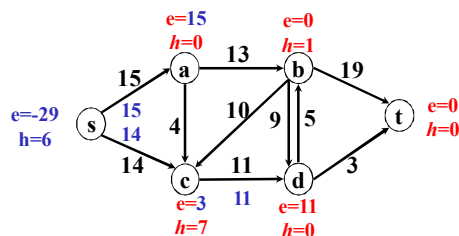


考虑初始化操作之后DisCharge(c)的执行过程

L(c): 

s	a	b	d	Null
---	---	---	---	------

v=Null, 执行复标操作  
 $c.h = 1 + \min \{v.h \mid c(cv)-f(cv)>0\} = |V|+1$

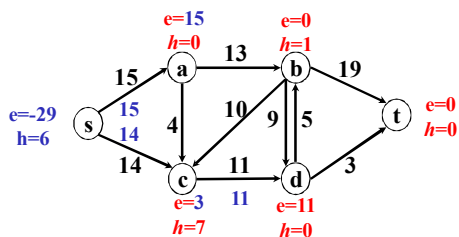


考虑初始化操作之后DisCharge(c)的执行过程

L(c): 

s	a	b	d	Null
---	---	---	---	------

v=s≠Null, 不执行复标操作  
 $c(cs)-f(cs)=14$  且  $c.h = c.s + 1$  执行Push

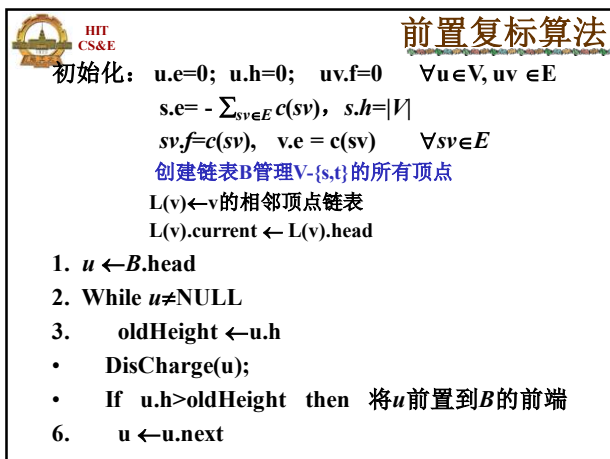
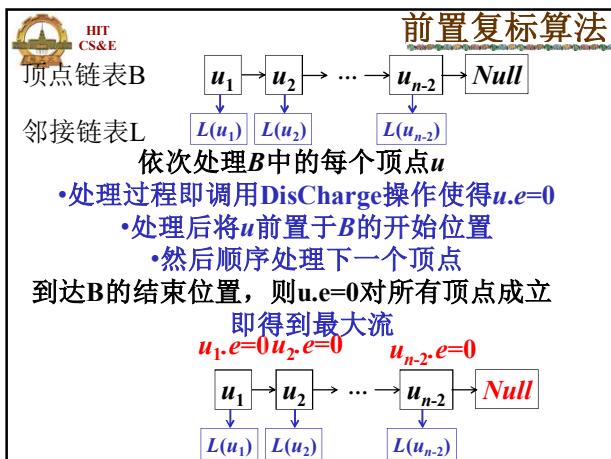
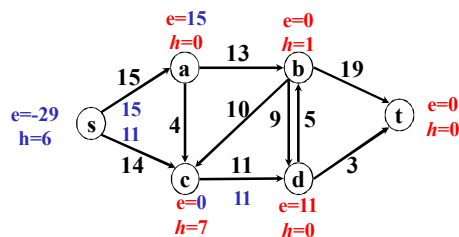



考虑初始化操作之后DisCharge(c)的执行过程

L(c): 

s	a	b	d	Null
---	---	---	---	------

v=s≠Null, 不执行复标操作  
 $c(cs)-f(cs)=14$  且  $c.h = c.s + 1$  执行Push





HIT

CS&E

前置复标算法分析

引理1.前置复标算法终止后，则最后的预流是最大流。


初始化：算法初始化是预流

循环：每次推送操作或复标操作后，仍是预流

终止：算法结束后得到一个预流 $f$

算法结束后 $u.e=0$ 对任意 $u \neq s, t$ 成立，故 $f$ 是流

类似与推送复标算法，可以证明剩余网络中不存在 $s$ - $t$ 路径，由最大流最小割定理， $f$ 是最大流



HIT

CS&E

前置复标算法分析

引理2.前置复标算法在 $O(V^3)$ 个基本操作之后必然终止。

前置复标算法是推送复标操作的特例


- 至多执行 $2V^2$ 个复标操作
- 至多执行 $2VE$ 个饱和和推送操作
- 只需限定非饱和和推送的个数

非饱和和推送操作个数 $\leq$  DisCharge执行次数  
每次非饱和和推送执行后， $u.e=0$ , DisCharge操作结束

考察执行复标操作的两个DisCharge操作之间

- 算法不改变任意顶点的高度,故算法顺序扫描B中顶点
- 算法顺序处理链表B中的一个连续区段
- 该区段的长度不超过B的总长度 $V-2$

非饱和和推送至多执行 $2V^2 \cdot (V-2) < V^3$ 个



HIT


CS&E

7.2 匹配算法

7.2.1 匹配与覆盖

7.2.2 最大二分匹配算法

7.2.3 最大权值二分匹配



HIT

CS&E

7.2.1 覆盖与匹配

匹配——图 $G=(V,E)$ 中没有公共端点的一组边 $M$

- 匹配边—— $M$ 中的边
- 自由边—— $E/M$ 中的边
- 被浸润的顶点—— $M$ 中边的端点
- 未被浸润的顶点——其他顶点

完美匹配——浸润 $G$ 的每个顶点的匹配

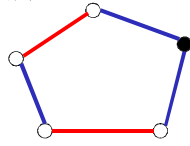
最大匹配——边的条数达到最大值的匹配


性质：完美匹配是最大匹配，反之不然

最大匹配问题

输入：图 $G=(V,E)$

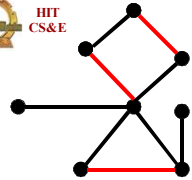
输出： $G$ 的最大匹配 $M$



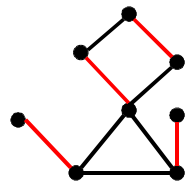


HIT


CS&E



最大匹配  
非完美匹配



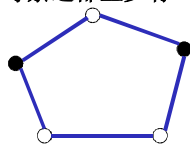
最大匹配  
完美匹配



HIT

CS&E

顶点覆盖——图 $G=(V,E)$ 中的一个顶点子集 $C$   
 $E$ 中每条边都至少有一个端点在 $C$ 中




最小顶点覆盖—— $G$ 的顶点个数最少的覆盖

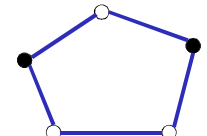
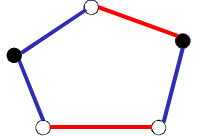
最小顶点覆盖问题

输入：图 $G=(V,E)$

输出： $G$ 的最小顶点覆盖



### 弱对偶性





若 $C$ 是图 $G$ 的任意顶点覆盖,  $M$ 是图 $G$ 的任意匹配

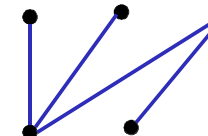
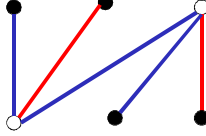
- ◆  $M$ 中每条边都至少有一个端点在 $C$ 中
- ◆  $M$ 中任意两条边不存在公共端点

故 $|M| \leq |C|$

**定理:** 图 $G$ 的最小顶点覆盖 $C$ 和最大匹配 $M$ 满足 $|M| \leq |C|$   
在二分图 $G$ 中,  $|M| = |C|$



### 弱对偶性





若 $C$ 是图 $G$ 的任意顶点覆盖,  $M$ 是图 $G$ 的任意匹配

- ◆  $M$ 中每条边都至少有一个端点在 $C$ 中
- ◆  $M$ 中任意两条边不存在公共端点

故 $|M| \leq |C|$

**定理:** 图 $G$ 的最小顶点覆盖 $C$ 和最大匹配 $M$ 满足 $|M| \leq |C|$   
在二分图 $G$ 中,  $|M| = |C|$

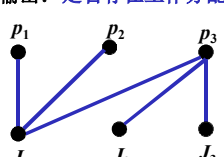


### 研究匹配算法的意义

**工作分配**

输入:  $n$ 个人 $p_1, \dots, p_n$ ,  $n$ 项工作 $J_1, \dots, J_n$ , 第 $i$ 个人胜任其中 $k$ 项工作


输出: 是否存在工作分配方案使得每个人完成1项自己胜任的工作



计算节点      实习单位

计算任务      实习人员

目前, 大规模图数据管理已经非常盛行  
很多高效算法都以匹配算法或覆盖算法为基础!




### 7.2.2 最大二分匹配算法

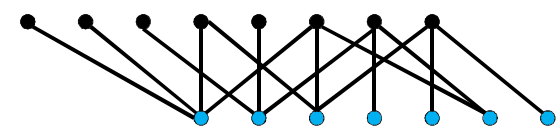
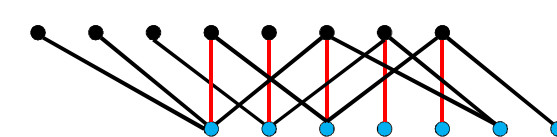
**定理:** 图 $G$ 的最小顶点覆盖 $C$ 和最大匹配 $M$ 满足 $|M| \leq |C|$   
在二分图 $G$ 中,  $|M| = |C|$


这意味着二分图上的最大匹配可以这样求解

- ◆ 初始化一个匹配 $M$
- ◆ 不断地增大 $M$
- ◆  $M$ 无法增大时, 找出一个顶点覆盖 $C$ 使得 $|M| = |C|$
- ◆  $M$ 是最大匹配,  $C$ 是最小覆盖

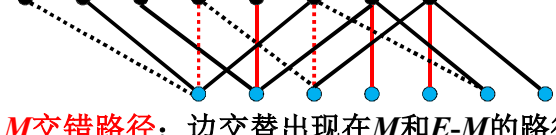
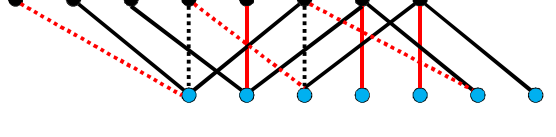


### 初始化



### 增大

**$M$ 交错路径:** 边交替出现在 $M$ 和 $E-M$ 的路径

**$M$ 增广路径:** 端点未被 $M$ 浸润的交错路径

找出增广路径, 就能增大 $M$ ! 怎么找呢?

HIT CS&E

### 通过BFS找增广路径

1.  $U \leftarrow X$  中未被  $M$  浸润的所有顶点
2. For  $\forall x \in U$  do  
如果存在从  $x$  出发的  $M$  增广路径，则增大  $M$   
Goto 1
3.  $M$  是最大匹配

能够以更高效的方式进行广度优先搜索呢？

HIT CS&E

### 同时进行BFS

HIT CS&E

### 同时进行BFS

HIT CS&E

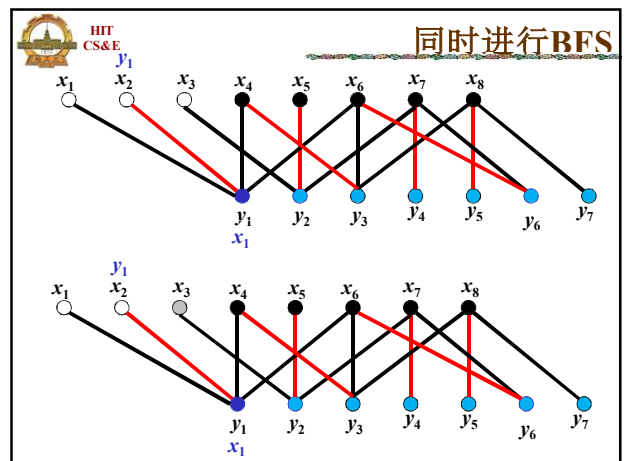
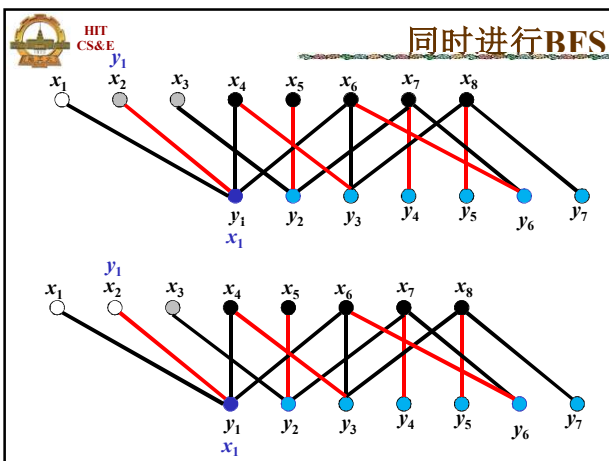
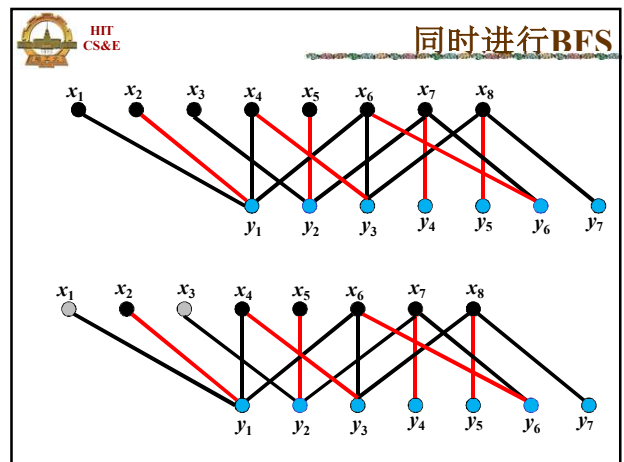
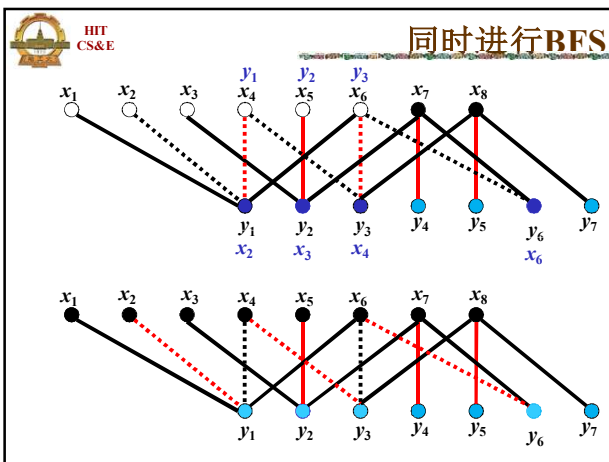
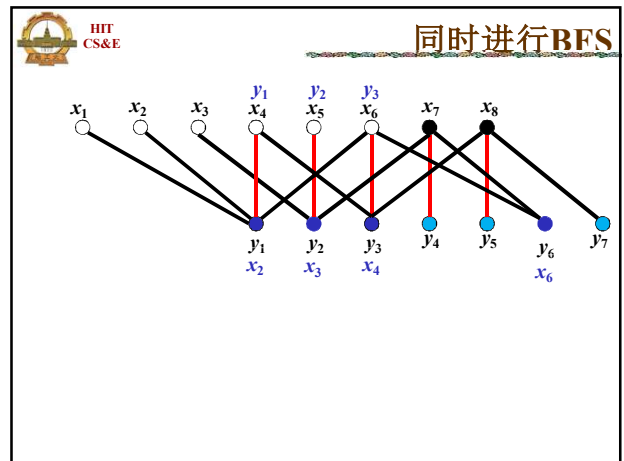
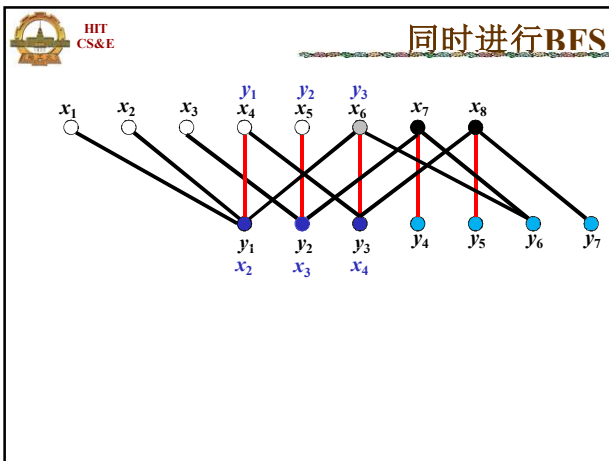
### 同时进行BFS

HIT CS&E

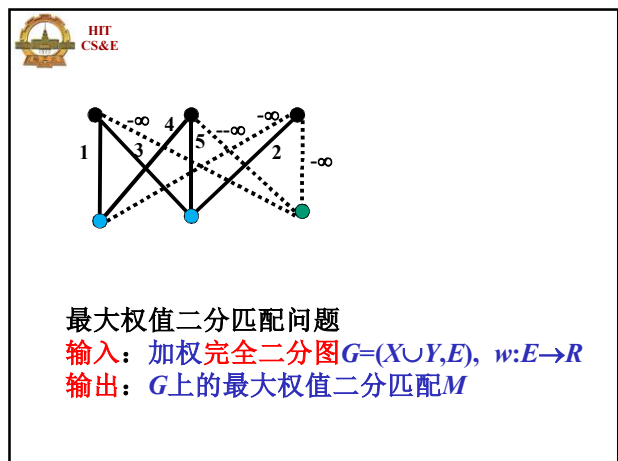
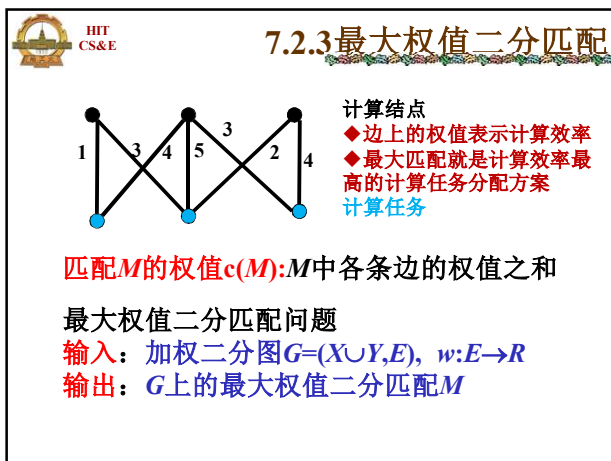
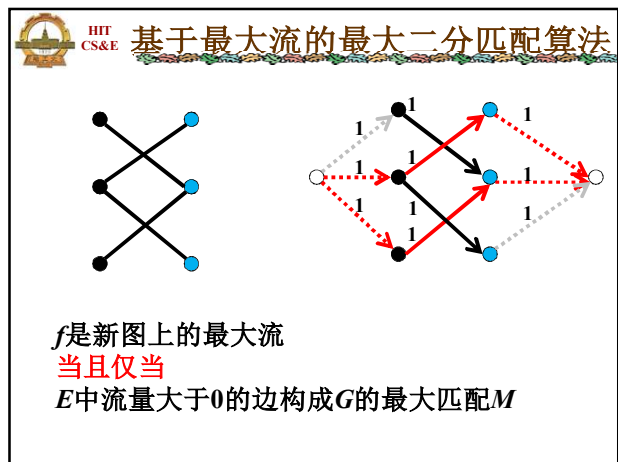
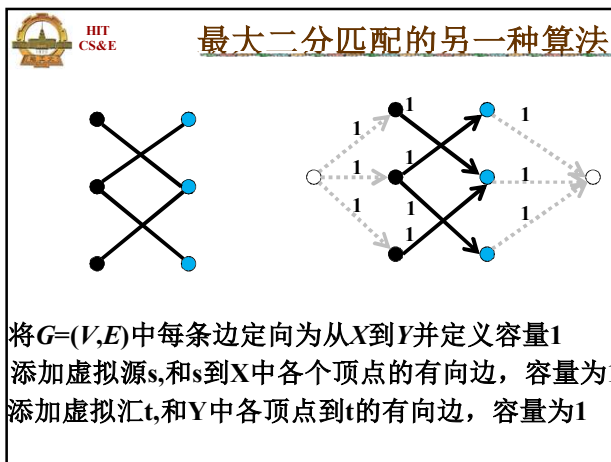
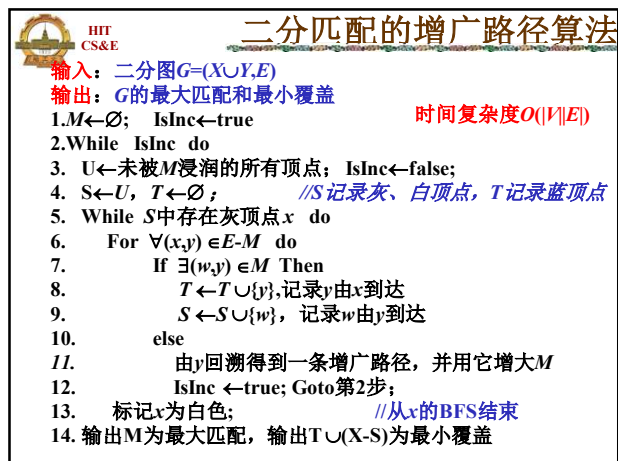
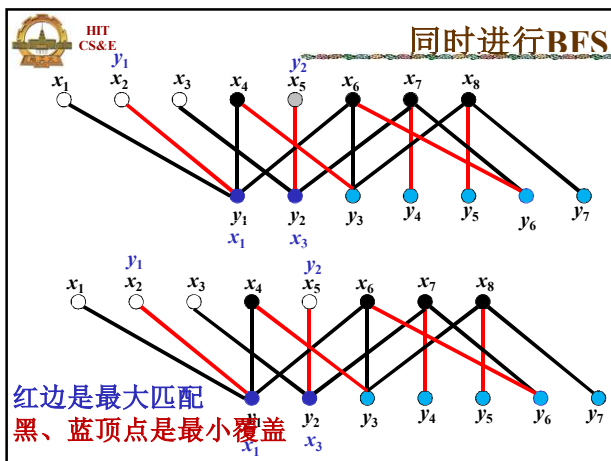
### 同时进行BFS

HIT CS&E

### 同时进行BFS







HIT CS&E

最大权值二分匹配问题  
 输入：加权完全二分图  $K_{n,n}$ ,  $w:E \rightarrow R$   
 输出： $G$  上的最大权值二分匹配  $M$

HIT CS&E

最大权值二分匹配问题  
 输入：加权完全二分图  $K_{n,n}$ ,  $w:E \rightarrow R$   
 输出： $G$  上的最大权值二分匹配  $M$

HIT CS&E

最大权值顶点覆盖

加权  $K_{n,n}$  的顶点覆盖  
 ◆ 两个  $n$  维实值向量  $u, v$   
 ◆  $u_i + v_j \geq w_{ij}$

最大权值顶点覆盖问题  
 输入：加权二分图  $K_{n,n}$ ,  $w:E \rightarrow R$   
 输出：分量之和达到最小值的顶点覆盖

对偶关系

任意完美匹配  $M$ , 任意覆盖  $u, v$

$$u_i + v_j \geq w_{ij}$$

$$\sum u_i + \sum v_j \geq \sum w_{ij}$$

$$c(u, v) \geq c(M)$$

定理：在加权  $K_{n,n}$  上, 任意完美匹配  $M$  和任意顶点覆盖  $u, v$  比满足  $c(M) \leq c(u, v)$ , 并且  $M$  是最大权值匹配当且仅当  $c(M) = c(u, v)$ , 此时  $M$  中的每条边  $ij$  均满足  $u_i + v_j = w_{ij}$

对偶关系给出了问题的求解思路

初始化顶点覆盖  $u, v$

判断  $\{ij: u_i + v_j = w_{ij}\}$  中能否找出完美匹配  $M$

若是, 则  $M$  是最大匹配,  $u, v$  是最小覆盖

否则, 调整  $u, v$

初始化

$u_i \leftarrow \max\{w_{ij}\}$   
 $v_j \leftarrow 0$

相等子图  
 仅含  $u_i + v_j = w_{ij}$  的所有边

HIT CS&E

初始化

红边：最大匹配  
蓝、白顶点：最小覆盖  
调整端点不在最小覆盖中的边，让它出现在相等子图中

$u_i \leftarrow \max\{w_{ij}\}$   
 $v_j \leftarrow 0$

HIT CS&E

$\varepsilon=2$  调整覆盖  $u, v$

$\varepsilon \leftarrow u_i + v_j - w_{ij}$   
 $u_i \leftarrow u_i - \varepsilon$   
 $v_j \leftarrow v_j + \varepsilon$

$ij$  不在当前最小覆盖中  
 $i$  不在当前最小覆盖中  
 $j$  在当前最小覆盖中

HIT CS&E

$\varepsilon=2$

$\varepsilon \leftarrow u_i + v_j - w_{ij}$   
 $u_i \leftarrow u_i - \varepsilon$   
 $v_j \leftarrow v_j + \varepsilon$

$ij$  不在当前最小覆盖中  
 $i$  不在当前最小覆盖中  
 $j$  在当前最小覆盖中

HIT CS&E

HIT CS&E

加权最大二分匹配算法

输入：加权完全二分图  $K_{n,n}$ ，边  $ij$  的权值为  $w_{ij}$   
输出： $K_{n,n}$  加权最大匹配和最小覆盖 时间复杂度  $O(n^5)$

- For  $i \leftarrow 1$  To  $n$
- $u_i \leftarrow \max\{w_{ij}\}; v_i \leftarrow 0;$
- While true do 至多循环  $n^2$  次
  - 构建由  $\{ij: u_i + v_j = w_{ij}\}$  构成的相等子图  $G_{u,v}$ ;
  - 找到的最大匹配  $M$  和最小顶点覆盖  $C$ ;
  - If  $|M|=n$  Then 输出  $M$ ，算法结束
  - Else
    - $\varepsilon \leftarrow \min\{u_i + v_j - w_{ij}: x_i y_j \text{ 不属于 } C\}$
    - $u_i \leftarrow u_i - \varepsilon$  任意  $x_i$  不属于  $C$
    - $v_j \leftarrow v_j + \varepsilon$  任意  $y_j$  属于  $C$

循环不变量： $u, v$  是加权顶点覆盖  
第3-10步每执行  $n$  遍， $|M|$  至少增大1

$O(n^3)$

HIT CS&E

补充阅读材料

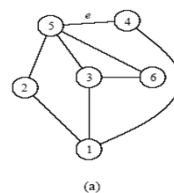


## 7.1 图及其表示法

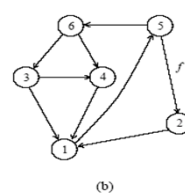
- 无向图 $G$ 是二元组 $(V, E)$ , 其中 $V$ 是顶点集合,  $E$ 是边集
- 边 $e \in E$ 是一个无序顶点对 $(u, v)$ , 其中 $u, v \in V$
- 在有向图中, 边 $e \in E$ 是一个有序顶点对 $(u, v)$ , 并称边 $(u, v)$ 是由顶点 $u$ 指向顶点 $v$
- 顶点 $u$ 到顶点 $v$ 的一条路径是一个顶点序列 $\langle v_0, v_1, v_2, \dots, v_k \rangle$ , 其中 $v_0 = v, v_k = u$ 且 $(v_i, v_{i+1}) \in E$ 对 $i = 0, 1, \dots, k-1$ 成立
- 路径的长度定义为路径中边的条数



例



a) 无向图



(b) 有向图



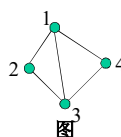
- 无向图是连通的, 如果其任意两个顶点之间均有一条路径
- 森林指的是无环图, 树是连通的森林。
- 如果图的每条边均有一个权值与之关联, 则称该图为加权图。



## 图的表示

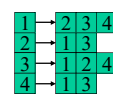
给定图 $G = (V, E)$  如何在计算机内存储它?

1. 邻接矩阵: 顶点 $i$ 表示为矩阵的第 $i$ 行和第 $i$ 列; 矩阵第 $i$ 行第 $j$ 列的元素被置为1(或者相应边的权值), 如果 $(i, j) \in E$ ; 否则置为0
2. 邻接表: 顶点作为数组的索引, 每个顶点用一个链表存储与之邻接的所有顶点



图的邻接矩阵

	1	2	3	4
1	0	1	1	1
2	1	0	1	0
3	1	1	0	1
4	1	0	1	0



图的邻接表



## 表示方法的比较

给定图 $G = (V, E), |V|=n, |E|=m$


1. 存储空间  
邻接矩阵:  $O(n^2)$       邻接表:  $O(m+n)$
2. 查看给定顶点的所有相邻顶点  
邻接矩阵:  $O(n)$       邻接表:  $O(m/n)$
- 检查给定的顶点对是否是 $G$ 的一条边  
邻接矩阵:  $O(1)$       邻接表:  $O(m/n)$

- 具体采用何种数据结构, 看具体的任务主要涉及何种操作
- 稀疏图往往采用邻接表存储



## 7.2 基本图论算法

- 7.2.1 广度优先搜索
- 7.2.2 深度优先搜索
- 7.2.3 拓扑排序
- 7.2.4 连通分支



HIT  
CS&E

# 搜索算法

- 访问图中边访问所有顶点的系统化方法
- 可以发现图的很多结构信息
- 很多其他图论算法均是这些基本搜索算法的精细化结果
- 图的搜索算法是图论算法的核心



HIT  
CS&E


# 图搜索算法中的三类顶点



搜索过程中，顶点集可以看成如下3个部分的并集

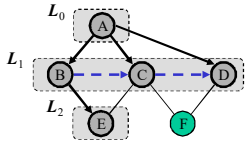
- 已访问顶点：已被算法处理过的顶点。
- 边缘顶点：马上将被访问的顶点。
- 未访问顶点：仍未被算法处理过的顶点


DFS算法用栈存储边缘顶点，而BFS算法用队列存储边缘顶点



HIT  
CS&E


# 6.2.1 广度优先搜索BFS





HIT  
CS&E

- Breadth-first search (BFS)是遍历图的一个一般技术
- BFS遍历图  $G$ ，可以
  - 访问  $G$  的所有边和顶点
  - 确定  $G$  是否连通
  - 计算  $G$  的所有连通分支
  - 计算  $G$  的生成森林
- BFS遍历具有  $n$  个顶点和  $m$  条边的图  $G$  的时间复杂性为  $O(n+m)$
- BFS可以扩展以解决其他图论问题
  - 找出两个顶点间具有最少边数的路径
  - 找出图中的简单环，如果存在的话



HIT  
CS&E

# BFS算法

该算法通过不断标记顶点和边，访问所有顶点和边，并划分边集合

## 算法 $BFS(G)$

Input 图  $G$

Output 标记并划分  $G$  的边


- for each  $u \in V_G$   
将  $u$  标记为 *unvisited*
- for each  $e \in E_G$   
将  $e$  标记为 *UNEXPLORED*
- for each  $v \in V_G$   
if  $v$  的标签是 *unvisited*  
   $BFS(G, v)$

## 算法 $BFS(G, s)$

Input 图  $G$ ，出发顶点  $s$

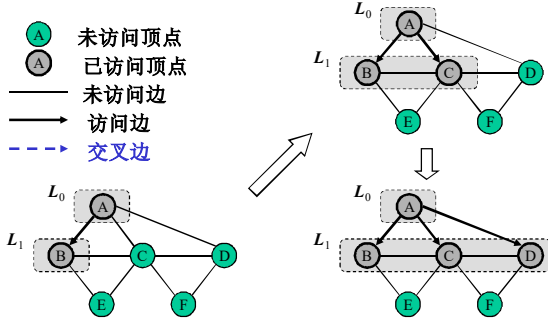
Output 将  $s$  所在连分支的边标记为三类

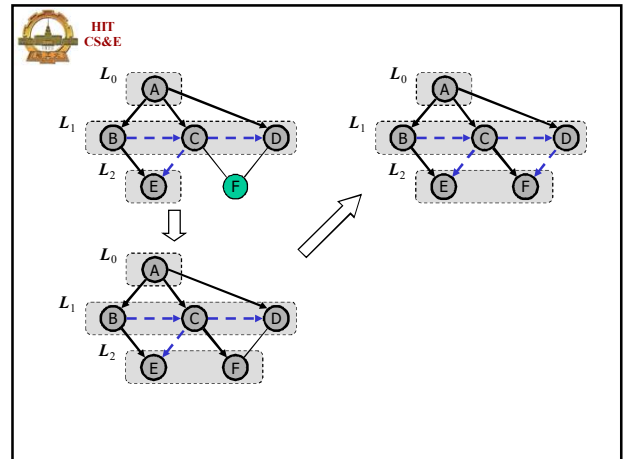
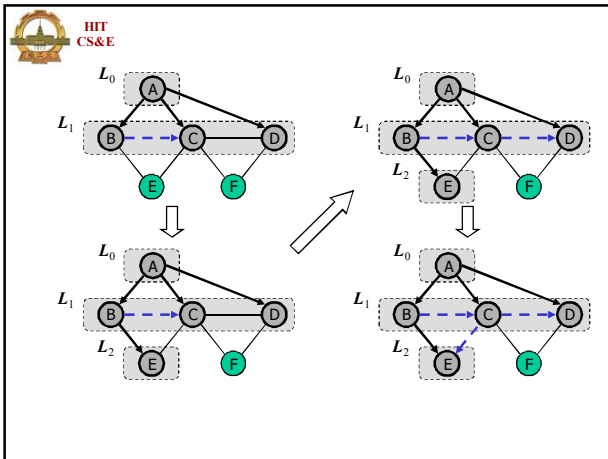
- $L_0 \leftarrow$  空队列
- 将  $s$  插入  $L_0$
- 将  $s$  标记为 *VISITED*
- $i \leftarrow 0$
- while  $L_i$  不空
  - $L_{i+1} \leftarrow$  空队列
  - for each  $v \in L_i$ 
    - for each  $(v, u) \in E_G$ 
      - if  $(v, u)$  的标签是 *UNEXPLORED*
      - if  $u$  的标签是 *unvisited*
        - 将  $(v, u)$  标记为 *DISCOVERY*
        - 将  $u$  标记为 *visited*
        - 将  $u$  插入  $L_{i+1}$
      - else
        - 将  $(v, u)$  标记为 *CROSS*
  - $i \leftarrow i + 1$



HIT  
CS&E

# 例





HIT  
CS&E

### BFS算法的性质

记号  
 $G_s$ : 顶点 $s$ 所在的连通分支

**Property 1**  
 $BFS(G, s)$  访问  $G_s$  中的所有边和顶点

**Property 2**  
 $BFS(G, s)$  找出的所有发现边构成  $G_s$  的一棵生成树  $T_s$

**Property 3**  
对任意  $v \in L_i$   
 - 在  $T_s$  中,  $s$  到  $v$  的路径有  $i$  条边  
 - 在  $G_s$  中,  $s$  到  $v$  的任意路径至少有  $i$  条边

HIT  
CS&E

### BFS算法分析

- 标记和获取顶点或边的时间开销为  $O(1)$
- 每个顶点被标记两次
  - 一次将其标记为 **unvisited**
  - 一次将其标记为 **visited**
- 每条边被标记两次
  - 一次将其标记为 **UNEXPLORED**
  - 一次将其标记为 **DISCOVERY** 或 **CROSS**
- 每个顶点仅被唯一地插入某个  $L_i$
- 查找顶点的邻边仅被每个顶点调用一次 **第8步**
- 只要图是以邻接表存储的, BFS的运行时间为  $O(n + m)$ 
  - 注意  $\sum_v \deg(v) = 2m$

HIT  
CS&E

### 6.2.2 深度优先搜索DFS

HIT  
CS&E

- **Depth-first search (DFS)** 是遍历图的一个一般技术
- DFS遍历图  $G$ , 可以
  - 访问  $G$  的所有边和顶点
  - 确定  $G$  是否连通
  - 计算  $G$  的所有连通分支
  - 计算  $G$  的生成森林
- DFS遍历具有  $n$  个顶点和  $m$  条边的图  $G$  的时间复杂性为  $O(n+m)$
- DFS可以扩展以解决其他图论问题
  - 找出两个顶点间的路径
  - 找出图中的简单环, 如果存在的话

HIT

该算法通过不断标记顶点和边，访问所有顶点和边，并划分边集合

**算法 DFS(G)**

Input 图 G

Output 标记并划分G的边

- for each  $u \in V_G$   
将u标记为unvisited
- for each  $e \in E_G$   
将e标记为UNEXPLORED
- for each  $v \in V_G$   
if v的标签是unvisited  
Recursive\_DFS(G, v)

**算法 Recursive\_DFS(G, s)**

Input 图 G, 出发顶点 s

Output 将s所在连通分支的边标记为两类

- 将s标记为 VISITED
- for each  $(s, u) \in E_G$   
if  $(s, u)$  的标签是 UNEXPLORED  
if u 的标签是 unvisited  
将  $(s, u)$  标记为 DISCOVERY  
将u标记为 visited  
Recursive\_DFS(G, u)  
else  
将  $(s, u)$  标记为 Back

很容易将上述算法改为栈的形式

HIT CS&E

● 未访问顶点

● 已访问顶点

—— 未访问边

—— 访问边

--- 回边

例

HIT CS&E

HIT CS&E

- DFS算法很像走迷宫的经典策略
  - We mark each intersection, corner and dead end (vertex) visited
  - We mark each corridor (edge) traversed
  - We keep track of the path back to the entrance (start vertex) by means of a rope (recursion stack)

DFS与迷宫

HIT CS&E

**DFS算法的性质**

**Property 1**  
DFS(G, v) 访问 v所在连通分支的所有顶点和边

**Property 2**  
DFS(G, v)找出的所有发现边构成 v所在连通分支的生成树

**Property 3**  
有向图G是一个无环图当且仅当G上的DFS过程没有回边

HIT CS&E

- 标记和获取顶点或边的时间开销为  $O(1)$
- 每个顶点被标记两次
  - 一次将其标记为unvisited
  - 一次将其标记为visited
- 每条边被标记两次
  - 一次将其标记为UNEXPLORED
  - 一次将其标记为DISCOVERY 或 BACK
- 查找顶点的邻边仅被每个顶点调用一次 **第2步**
- 只要图是以邻接表存储的，DFS的运行时间为  $O(n + m)$ 
  - 注意  $\sum \deg(v) = 2m$

**DFS算法分析**



## 作业

分别修改BFS和DFS以完成以下任务

1. 确定 $G$ 是否连通
2. 计算 $G$ 的所有连通分支
3. 计算 $G$ 的生成森林
4. 找出两个顶点间的路径
5. 找出图中的简单环, 如果存在的话



## 7.2.3 拓扑排序

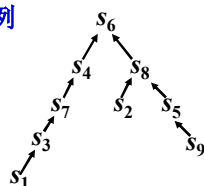


### 偏序集的拓扑排序

#### • 拓扑排序

- 输入: 偏序集合 $(S, \leq)$
- 输出:  $S$ 的拓扑序列是 $\langle s_1, s_2, \dots, s_n \rangle$ ,  
满足: 如果 $s_i \leq s_j$ , 则 $s_i$ 排在 $s_j$ 的前面.

- 例



拓扑排序:

$s_1 s_3 s_7 s_4 s_9 s_5 s_2 s_8 s_6$

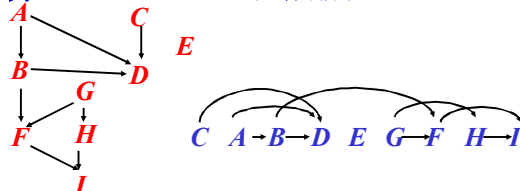


### 有向图的拓扑排序

#### • 拓扑排序

- 输入: 无环有向图 $G=(V,E)$
- 输出:  $G$ 的所有顶点的一个拓扑排序  
即, 如果 $uv \in E$ , 则 $u$ 在该排序中位于 $v$ 之前

- 例



### 有向图的拓扑排序算法

算法 TOPOLOGICAL\_SORT( $G$ )

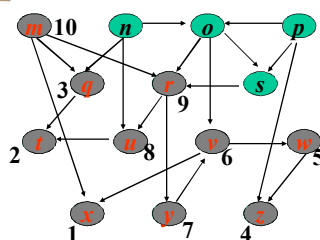
Input 无环有向图 $G=(V,E)$

Output  $G$ 的所有顶点的拓扑排序

1. 初始化空链表 $L$
2. 调用DFS算法计算每个顶点 $v$ 的结束时间 $f(v)$
3. 当 $v$ 的结束时间 $f(v)$ 被计算出来时, 将 $v$ 插入 $L$ 的最前端
3. 链表 $L$ 中的顶点顺序即为一个拓扑序



例



$m r u y v w z q t x$





## 算法分析

**定理** 对无环有向图 $G$ ,  $\text{TOPOLOGICAL\_SORT}(G)$

得到 $G$ 的一个拓扑排序

证明: 仅需证明, 如果 $uv \in E$ 则 $f(v) < f(u)$ 。

考虑 $uv$ 被DFS访问的时刻,  $v$ 要么已被访问完 ( $f(v)$ 已被计算出来), 要么 $v$ 仍未被访问过, 否则将出现环。

对于第一种情况, 显然有 $f(v) < f(u)$ 。

对于第二种情况,  $v$ 是 $u$ 的后代, DFS算法必然会先结束对 $v$ 的访问, 故 $f(v) < f(u)$ 。

**时间复杂度分析**

即DFS的时间复杂度,  $O(|V|+|E|)$



## 7.2.4 有向图的强连通分枝分解

➤ 将有向图分解为强连通分枝是DFS的一个经典应用

➤ 许多应用需要将有向图分解为强连通分枝, 然后再对每个强连通分枝应用某种操作或算法

➤ 给定有向图 $G=(V,E)$ ,  $G$ 的一个**强连通分枝**指的是一个极大子集 $C \subseteq V$ 使得 $\forall u,v \in C$ 均有 $u \leftrightarrow v$ 。

➤ 将有向图 $G=(V,E)$ 的所有边反向后得到的图成为 $G$ 的**转置**, 记为 $G^T$

• 若 $G$ 以邻接矩阵 $A$ 给出,  $G^T$ 的邻接矩阵即为 $A^T$

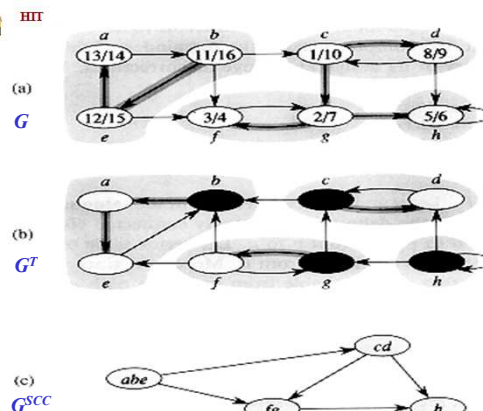
• 若 $G$ 以邻接表给出, 请给出一个算法计算 $G^T$ 的邻接表



- 注意,  $G$ 的转置和 $G$ 具有相同的连通分枝
- $G$ 的**连通分枝图** $G^{SCC}=(V^{SCC}, E^{SCC})$ 定义如下:
  - $G$ 的每个连通分枝对应 $V^{SCC}$ 中的一个顶点
  - $x,y \in V^{SCC}$ , 如果 $x$ 对应连通分枝到 $y$ 对应的连通分枝在 $G$ 中有一条有向边, 则 $(x,y) \in E^{SCC}$
- 连通分枝分解算法的分析依赖于 $G^{SCC}$ 的一些性质



例



## 强连通分枝分解算法

**算法**  $\text{STRONGLY\_CONNECT\_COMPONENTS}(G)$

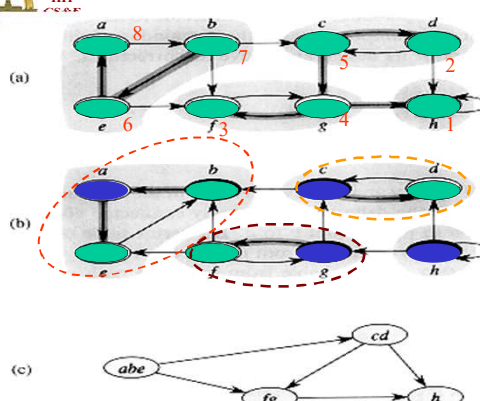
Input 无环有向图 $G=(V,E)$

Output  $G$ 的强连通分枝分解

1. 在 $G$ 上调用DFS计算每个顶点 $v$ 的结束时间 $f(v)$
2. 计算 $G^T$
3. do
4. 在 $G^T$ 的剩余顶点中, 从最大 $f(v)$ 对应的顶点开始进行DFS访问
5. 如果当前访问顶点没有未被访问过的边, 则输出当前访问过的顶点作为一个连通分枝
6. while( $G^T$ 仍有顶点未被访问)



例



HIT CS&E

### 算法分析

**引理1** 设  $C$  和  $C'$  是有向图  $G=(V, E)$  中两个不同的连通分枝, 且  $u, v \in C, u', v' \in C'$ 。如果  $u \rightarrow u'$  则  $v' \rightarrow v$  不成立

HIT CS&E

- 将DFS算法首次进入顶点  $u$  的时间的  $d(u)$  和结束对  $u$  的访问的时间  $f(u)$  扩展到集合上, 有
 
$$d[U] = \min_{u \in U} \{d[u]\} \quad f[U] = \max_{u \in U} \{f[u]\}$$
- 引理2** 设  $C$  和  $C'$  是有向图  $G=(V, E)$  的两个不同连通分枝且存在  $(u, v) \in E$ , 其中  $u \in C$  且  $v \in C'$ 。则  $f(C) > f(C')$ 。

证明: 分两种情况讨论

(1)  $d(C) < d(C')$ 。设  $x \in C$  为第一个被发现的顶点, 则  $d[x] = d(C)$ 。当  $d[x]$  时,  $C$  中其他顶点和  $C'$  中所有顶点都是白色的。对任意的  $w \in C'$ , 由  $x \rightarrow u \rightarrow v \rightarrow w$ , 知  $f(x) > f(w)$ 。所以,  $f(C) > f(C')$ 。

(2)  $d(C) > d(C')$ 。设  $y \in C'$  为第一个被发现的顶点, 则  $d[y] = d(C')$ 。当  $d[y]$  时,  $C'$  中其他顶点都是白色的, 因此  $f(C') = f[y]$ 。由于  $C'$  中任一点都不可达  $C$  (否则的话  $C \cup C'$  强连通)。故  $f(C) > f(C')$ 。

HIT CS&E

**推论3** 设  $C$  和  $C'$  是有向图  $G=(V, E)$  中的两个不同的连通分枝。如果  $(u, v) \in E^T$ , 其中  $u \in C$  且  $v \in C'$ 。则  $f(C) < f(C')$ 。

证明:  $(u, v) \in E^T \Leftrightarrow (v, u) \in E$ ; 由引理2即可得到结论。  
推论3意味着什么?

如果  $u$  的  $f(u)$  最大且  $u \in C$  则从  $u$  出发DFS不能访问到其他分枝  
除非结束对  $C$  的访问后再重新指定DFS的出发点

**定理** 算法 `STRONGLY_CONNECTED_COMPONENTS(G)` 能够正确计算有向图  $G=(V, E)$  所有连通分枝。

证明: 根据推论3对连通分枝数量做数学归纳法。自己下来书写!

时间复杂度  $O(|V|+|E|)$   
两遍DFS, 外加一个计算  $G^T$  的时间开销

HIT CS&E

## 7.3 最小生成树算法

参见第五章, 贪心算法

HIT CS&E

## 7.3 单源最短路径算法

- 问题的定义
- 单源最短路径的子结构性质
- Bellman-Ford算法
- Dijkstra算法

HIT CS&E

## 单源最短路径问题

- 给定加权图或不加权的图  $G$ , 找出给定的源顶点  $s$  到目标顶点  $v$  的最短路径
  - 在给定的网络拓扑下, 最小化路由代价。
  - 最小化基因-基因反应中的能量开销。
  - 最小化代价是许多实际问题中的基本要素
- 在加权图中
  - “最短路径” = 权值最小的路径
  - 路径的权值等于路径上所有边的权值之和
  - 不能用BFS来求解该问题
- 在不加权图中
  - “最短路径” = 边数最少的路径
  - 可以用BFS在  $O(V+E)$  的时间内找出源顶点到目标顶点的最短路径。

### 最短路径的特征-优化子结构

**优化子结构:**最短路径包含了最短子路径

设 $s$ 到 $v$ 的最短路径 $P$ 经过顶点 $i$ 和 $j$ , 则 $P$ 上从 $i$ 到 $j$ 的部分必然是 $i$ 到 $j$ 的最短路径

**证明:** 如果子路径 $(i, j)$ 不是顶点 $i$ 到顶点 $j$ 的最短路径, 则

- 在 $i$ 和 $j$ 之间必然存在一条更短的路径(红色路径)
- 用这条更短的子路径替换原来的子路径
- 得到一条比原路径更短的路径。
- 矛盾。

### 最短路径的特征-三角不等式

- 定义 $\delta(u, v)$ 为从 $u$ 到 $v$ 的最短路径的代价(长度)
- 最短路径代价满足三角不等式

$$\delta(u, v) \leq \delta(u, x) + \delta(x, v)$$

- “证明”:

最短路径不比任何其他路径长

### 最短路径的特征-环

- $u$ 到 $v$ 的最短路径上能存在环吗?

- 负环

如果 $u$ 到 $v$ 的最短路径上能存在负环, 则定义

$$\delta(u, v) = -\infty$$

### 最短路径的特征-最短路径树

**最短路径树**包含图 $G$ 中从 $s$ 出发可达的所有顶点

- 形成一棵以 $s$ 为根的树。
- 在这棵树中从 $s$ 到 $v$ 的唯一路径, 即为 $G$ 中从 $s$ 到 $v$ 的最短路径。

**最短路径的存储**

$\pi[v]$ 存储从 $s$ 到 $v$ 的最短路径中顶点 $v$ 的前驱

### 最短路径的特征-松弛技术

**松弛技术**是最短路径算法的关键技术

- 对所有 $v$ , 维护 $\delta(s, v)$ 的一个上界 $d[v]$

**算法Relax( $u, v, w$ )**

Input 顶点 $u$ 和 $v$ , 图的加权函数 $w$

Output 松弛后的 $d[v]$

- if  $(d[v] > d[u] + w(u, v))$  then
- $d[v] = d[u] + w(u, v);$
- $\pi[v] = u;$

### Bellman-Ford算法

**算法 Bellman-Ford( $G, w, s$ )**

Input 图 $G=(V, E)$ , 边加权函数 $w$ , 源顶点 $s$

Output  $s$ 到其所有可达顶点的最短路径

- For  $\forall v \in V$  do
- $d[v] \leftarrow \infty;$
- $\pi[v] \leftarrow \text{null};$
- $d[s] \leftarrow 0;$
- For  $i \leftarrow 1$  to  $|V|-1$  do
- For  $\forall uv \in E$  do
- Relax( $u, v, w$ );
- For  $\forall uv \in E$  do
- If  $d(v) > d(u) + w(u, v)$  then
- return FALSE
- Return TRUE

**初始化**

**求解**

执行 $|V|-1$ 遍, 松弛每条边

**检查解的合理性, 环, 负环**

请你确定Bellman-Ford算法的时间复杂度?  $O(VE)$

HIT CS&E

## Bellman-Ford算法的分析

算法 Bellman-Ford( $G, w, s$ )

Input 图  $G=(V, E)$ , 边加权函数  $w$ , 源顶点  $s$

Output  $s$  到其所有可达顶点的最短路径

```

1. For  $\forall v \in V$  do
2.    $d[v] \leftarrow \infty$ ;
3.    $\pi[v] \leftarrow \text{null}$ ;
4.    $d[s] \leftarrow 0$ ;
5. For  $i \leftarrow 1$  to  $|V|-1$  do
6.   For  $\forall uv \in E$  do
7.     Relax( $u, v, w$ );
8. For  $\forall uv \in E$  do
9.   If  $d(v) > d(u) + w(u, v)$  then
10.    return FALSE
11. Return TRUE
  
```

为什么算法运行  $|V|-1$  遍就足够了?

HIT CS&E

- $d[v] = \delta(s, v)$  必然在  $|V|-1$  遍运行后成立
  - 设  $P = (v_0, \dots, v_k)$  是从  $s$  到  $v$  最短路径, 其中  $v_0 = s$  且  $v_k = v$ .
  - 由于  $P$  简单路径, 故  $k < |V|-1$ .
- 下面通过对最短路径的长度做归纳, 证明  $d[v_k] = \delta(s, v_k)$  在  $k$  遍之后成立, 其中  $k$  是  $(v_0, v_1, \dots, v_k)$ , 即  $s$  到  $v_k$  的最短路径的长度
  - 注意到最短  $k$ -路径可以通过最短  $(k-1)$ -路径来构造

HIT CS&E

证明: 考虑从  $s$  到  $v$  的最短路径

$s = v_0 \rightarrow v_1 \rightarrow \dots \rightarrow v_{k-1} \rightarrow v_k = v$

- 最初,  $d[v_0] = d[s] = 0 = \delta(s, s)$  且以后不再变化.
- 一遍之后,  $d[v_1] = \delta(s, v_1)$  是  $s$  到  $v_1$  的最短路径, 且  $d[v_1]$  以后不再变化.
- 设  $k-1$  边后有  $d[v_{k-1}] = \delta(s, v_{k-1})$ , 则第  $k$  遍过程中,
  - 如果  $(d[v_k] > d[v_{k-1}] + w)$  则  $d[v_k] = d[v_{k-1}] + w$
  - $d[v_k] = \delta(s, v_k)$ , 因为每条最短  $(k-1)$ -路径均会被松弛过程检查和扩展.

•  $d[v] = \delta(s, v)$  在  $|V|-1$  遍后成立.

HIT CS&E

## Bellman-Ford算法具有负环检测能力

算法 Bellman-Ford( $G, w, s$ )

Input 图  $G=(V, E)$ , 边加权函数  $w$ , 源顶点  $s$

Output  $s$  到其所有可达顶点的最短路径

```

1. For  $\forall v \in V$  do
2.    $d[v] \leftarrow \infty$ ;
3.    $\pi[v] \leftarrow \text{null}$ ;
4.    $d[s] \leftarrow 0$ ;
5. For  $i \leftarrow 1$  to  $|V|-1$  do
6.   For  $\forall uv \in E$  do
7.     Relax( $u, v, w$ );
8. For  $\forall uv \in E$  do
9.   If  $d(v) > d(u) + w(u, v)$  then
10.    return FALSE
11. Return TRUE
  
```

为什么算法能够发现负环?

在  $G$  中, 如果从  $s$  出发不能到达任何负环, 则

- Bellman-Ford 算法返回 TRUE,
- $d[v] = \delta(s, v)$  对任意顶点  $v$  成立.

在  $G$  中如果从  $s$  出发能够到达某个负环, 则

- 算法返回 FALSE.
- Bellman-Ford 能够检测负环的存在性.

证明:(1) 设  $G$  中没有负环.

- $|V|-1$  遍后, 我们有  $d[v] = \delta(s, v)$  对任意顶点  $v$  成立.
- 由三角不等式,  $d[v] = \delta(s, v) \leq \delta(s, u) + w(u, v) = d[u] + w(u, v)$ , 对任意  $(u, v) \in E$  成立.

证明:(2) 反证法

- 设  $G$  中从  $s$  可以到达负环  $(v_0, v_1, \dots, v_k)$  其中  $v_k = v_0$ .

$$\sum_{i=1}^k w(v_{i-1}, v_i) < 0$$

- 但, 算法返回 TRUE
- 没有负环被检测到
- 检测负环  $(v_0, v_1, \dots, v_k)$  上的任意一条边时, 均有

$$d[v_i] \leq d[v_{i-1}] + w(v_{i-1}, v_i) \quad \text{for } i = 1, 2, \dots, k.$$

$$\sum_{i=1}^k d[v_i] \leq \sum_{i=1}^k d[v_{i-1}] + \sum_{i=1}^k w(v_{i-1}, v_i).$$

Since  $\sum_{i=1}^k d[v_i] = \sum_{i=1}^k d[v_{i-1}]$ ,  $\sum_{i=1}^k w(v_{i-1}, v_i) \geq 0$

矛盾

### DAG上的单源最短路径

**问题:** 在无环有向图(Directed Acyclic Graph-DAG)中如何高效地解决单源最短路径问题

- Bellman-Ford算法的时间开销为 $O(VE)$
- 在 DAG 中我们能否更快?

• Bellman-Ford算法执行 $|V|-1$ 遍

- 每遍均需扫描所有边一遍
- 对许多边的扫描均是无用的

• 事实上

- 无需扫描不影响结果的边
- 对于已经找到的最短路径, 其上的边无需再扫描

### DAG上的单源最短路径

**问题:** 在无环有向图(Directed Acyclic Graph-DAG)中如何高效地解决单源最短路径问题

- Bellman-Ford算法的时间开销为 $O(VE)$
- 在 DAG 中我们能否更快?

• 基本想法—利用拓扑排序

- DAG中每条路径均是拓扑序顶点序列的子序列
- 能够容易识别从s可达的顶点, 避免无用边扫描
- 按照拓扑序处理顶点, 将始终是前向地处理每条路径, 避免重复扫描已知最短路径上的边
- 仅需要一遍扫描

### DAG单源最短路径算法

**算法 DAG-Shortest-Paths( $G, w, s$ )**

**Input** 无环有向图 $G=(V, E)$ , 边加权函数 $w$ , 源顶点 $s$

**Output**  $s$ 到其所有可达顶点的最短路径

1. 将 $V$ 中顶点进行拓扑排序
2. For  $\forall v \in V$  do
3.      $d[v] \leftarrow \infty$ ;
4.      $\pi[v] \leftarrow \text{null}$ ;
5.      $d[s] \leftarrow 0$ ;
6. For each  $u \in V$  (按拓扑序考虑) do
7.     For  $\forall v \in \text{Adj}[u]$  do
8.         Relax( $u, v, w$ );

大家尝试自己去分析该算法

### Dijkstra算法

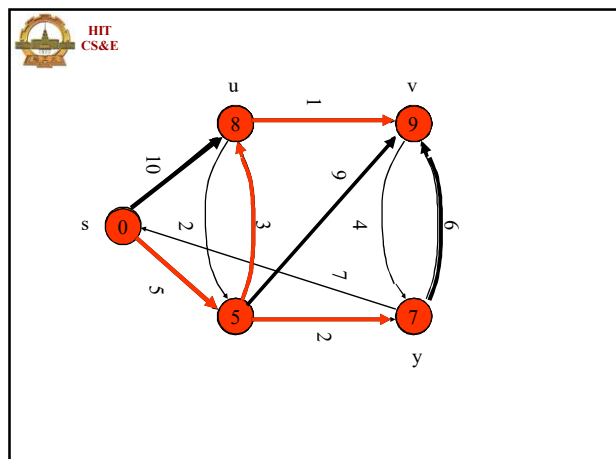
- Dijkstra算法假设 $w(uv) \geq 0$ 对 $\forall uv \in E$ 成立
- 始终维护顶点集 $S$  使得
  - $\forall v \in S, d[v] = \delta(s, v)$ , 即,  $s$ 到 $v$ 的最短路径已经找到.
  - 初始值:  $S = \emptyset, d[s] = 0$  且  $d[v] = +\infty$
- 算法运行过程中
  - (a) 选择  $u \in V \setminus S$  使得  
 $d[u] = \min \{d[x] \mid x \in V \setminus S\}$ . 令  $S = S \cup \{u\}$   
 此时 $d[u] = \delta(s, u)$ !为什么?
  - (b) 对于 $u$ 的每个相邻顶点 $v$ 执行 RELAX( $u, v, w$ )
- 重复上述步骤(a)和(b) 直到  $S = V$ .
- 该算法类似与Prim算法, 属于贪心算法

### 算法 Dijkstra( $G, w, s$ )

**Input** 图 $G=(V, E)$ , 边加权函数 $w$ , 源顶点 $s$

**Output**  $s$ 到其所有可达顶点的最短路径

1. For  $\forall v \in V$  do
2.      $d[v] \leftarrow \infty$ ;
3.      $\pi[v] \leftarrow \text{null}$ ;
4.      $d[s] \leftarrow 0$ ;
5.  $S \leftarrow \emptyset$
6.  $Q \leftarrow V$
7. while  $Q \neq \emptyset$  do
8.      $u \leftarrow \text{EXTRACT-MIN}(Q)$ ;
9.      $S \leftarrow S \cup \{u\}$
10.     For  $\forall v \in \text{Adj}[u]$  do
11.         Relax( $u, v, w$ );



HIT CS&E

**第一步:** 假设  $\text{EXTRACT-MIN}(Q)=x$ .

- $sx$  是仅含一条边的最短路径
  - 为什么?
  - 因为  $sx$  是从  $s$  出发的最短的边.
- 它也是  $s$  到  $x$  的最短路径

证明:

- 设  $P: s \rightarrow u \dots \rightarrow x$  是  $s$  到  $x$  的最短路径, 则  $w(s,u) \geq w(s,x)$ .
- 由于图中没有负权值边, 路径  $P$  的总权值至少为  $w(s,u) \geq w(s,x)$ .
- 故, 边  $sx$  是  $s$  到  $x$  的最短路径.

HIT CS&E

**第二步:**  $S=\{s,x\}$   $d[y] = \min_{v \in V, S} d[v]$

- 论断:  $d[y]$  是从  $s$  到  $y$  的最短路径代价, 即
  - 要么  $sy$  是最短路径
  - 要么  $s \rightarrow x \rightarrow y$  是最短路径.
- 为什么?
  - 如果  $sy$  是最短路径, 论断成立
  - 考察  $s \rightarrow x \rightarrow y$  是从  $s$  到  $y$  的最短路径的情况

证明: (反证法) 设  $s \rightarrow x \rightarrow y$  不是从  $s$  到  $y$  的最短路径

- 设  $P_1: s \rightarrow y' \rightarrow \dots \rightarrow x$  是  $s$  到  $y$  的最短路径, 其中  $y' \notin S$ . (注意此时, 我们已经考察了  $y'=x$  和  $y'=s$  的情形).
- 因此,  $w(P_1) < w(s \rightarrow x \rightarrow y)$ .
- 由于  $w(uv) \geq 0$  对任意边成立, 故  $w(sy') < w(P_1) < w(s \rightarrow x \rightarrow y)$ . 进而  $d[y'] < d[y]$ , 这样算法第二步不可能选中  $y$ , 矛盾!

HIT CS&E

**后续步骤:** 设  $S$  是算法维护的集合, 令  $d[y] = \min_{v \in V, S} d[v]$

- 定理:  $d[y]$  是从  $s$  到  $y$  的最短路径代价 (正确性分析中最难的部分)

证明: (归纳法+反证)

归纳假设: 设对  $\forall v \in S$ ,  $d[v]$  是从  $s$  到  $v$  的最短路径的代价, 往证本次操作完成后  $d[y]$  将是  $s$  到  $y$  的最短路径的代价

若不然,  $d[y]$  不是从  $s$  到  $y$  的最短路径的代价. 设  $P_1: s \rightarrow \dots \rightarrow y' \rightarrow \dots \rightarrow y$  是从  $s$  到  $y$  的最短路径, 其中  $y' \notin S$  是  $P_1$  上第一个不属于  $S$  的顶点. 这意味着  $y \neq y'$  且  $w(P_1) < d[y]$ .

因此,  $w(s \rightarrow \dots \rightarrow y') < w(P_1)$ . (每条边的权值均非负)

进而  $w(s \rightarrow \dots \rightarrow y') < w(P_1) < d[y]$ .

据此,  $d[y'] \leq w(s \rightarrow \dots \rightarrow y') < w(P_1) < d[y]$ .

因此, 算法在本次操作中不会选中  $y$ , 矛盾!

HIT CS&E

### Dijkstra算法的时间复杂度

- 时间复杂度依赖于优先队列  $Q$  的实现
- 模型1: 利用数组存储  $Q$ 
  - $\text{EXTRACT-MIN}(Q)$  — 需要  $O(|V|)$  时间.
    - 总共需要执行  $|V|$  次  $\text{EXTRACT-MIN}(Q)$ .
    - $|V|$  次  $\text{EXTRACT-MIN}(Q)$  操作的总时间为  $O(|V|^2)$ .
  - $\text{RELAX}(u, v, w)$  — 需要  $O(1)$  时间.
    - 总共需要执行  $|E|$  次  $\text{RELAX}(u, v, w)$  操作.
    - $|E|$  次  $\text{RELAX}(u, v, w)$  操作的总时间为  $O(|E|)$ .
  - 总时间开销为  $O(|V|^2 + |E|) = O(|V|^2)$
- 模型2:  $Q$  用堆实现.
  - 需要  $O(\log |V|)$  时间.
  - 总时间开销为  $O(|V| \log |V| + |E|)$ .

HIT CS&E

## 7.4 all-pairs shortest paths


- 问题的定义
- 单源最短路径的子结构性质
- Bellman-Ford算法
- Dijkstra算法

HIT CS&E

### 7.4.1 问题定义及求解方法

- 给定加权图或不加权的图  $G=(V,E)$ , 我们希望对任意  $u, v \in V$  计算出从  $u$  到  $v$  的最短路径
- 用 Bellman-Ford 算法或 Dijkstra 算法解决
  - 直接调用 Bellman-Ford 或 Dijkstra 算法  $|V|$  遍
  - Dijkstra 算法  $O(|V| \log |V| + |E|) \Rightarrow O(V^3)$
  - Bellman-Ford 算法  $O(VE) \Rightarrow O(V^4)$
- Faster-All-Pairs-Shortest-Paths
  - $O(V^3 \lg V)$






HIT  
CS&E

## 6.4.2 基于矩阵乘法的算法

### 最短路径的结构


- 设  $p$  是顶点  $i$  到顶点  $j$  的最短路径
- 如果  $i=j$ , 则  $p$  中不含任何边, 路径的权值为 0
- 如果  $i \neq j$ , 设  $j$  在路径  $p$  中的前驱为  $k$ , 则  $p$  可以分解为  $i \rightarrow p' \rightarrow k \rightarrow j$ 
  - 由最短路径的优化子结构知道  $i \rightarrow p' \rightarrow k$  是  $i$  到  $k$  的最短路径
  - 从而  $\delta(i,j) = \delta(i,k) + w(k,j)$
  - 如果  $p$  有  $m$  条边, 则  $p'$  有  $m-1$  条边
  - 提示我们, 最短路径可以存为前驱矩阵  $\pi(i,j)$
  - $\pi(i,j)$  表示从  $i$  到  $j$  的最短路径中  $j$  的前驱
  - 根据前驱矩阵, 可以打印所有最短路径 (自己写个算法)
- 如果从路径的长度入手可能建立递归过程



HIT  
CS&E

## 递归计算

- 定义  $l_{ij}^{(m)}$  = 从  $i$  到  $j$  的至多仅含  $m$  条边的最短路径的代价
- 显然  $l_{ij}^{(0)} = 0$  if  $i=j$  或  $l_{ij}^{(0)} = \infty$  if  $i \neq j$
- 因此  $l_{ij}^{(m)} = \min\{l_{ij}^{(m-1)}, \min_{1 \leq k \leq n} \{l_{ik}^{(m-1)} + w(k,j)\}\}$   
 $= \min_{1 \leq k \leq n} \{l_{ik}^{(m-1)} + w(k,j)\}$  因为  $w(j,j)=0$
- 由于从  $i$  到  $j$  的最短路径最多含有  $n-1$  条边, 故  
 $\delta(i,j) = l_{ij}^{(n-1)} = l_{ij}^{(n)} = l_{ij}^{(n+1)} = \dots$
- 自底向上计算
  - $L^{(1)}, L^{(2)}, \dots, L^{(n-1)}$ , 其中  $L^{(m)} = (l_{ij}^{(m)})_{n \times n}$
  - 注意  $L^{(1)} = W$  是权值矩阵



HIT  
CS&E

## 算法 Extended\_Shortest\_Path(L,W)

Input 当前代价矩阵  $L$ , 边加权函数  $w$

Output 经进一步扩展后的代价矩阵


1.  $n \leftarrow \text{row}[L]$ ;
2.  $L' \leftarrow (l'_{ij})_{n \times n}$ ;
3. For  $i \leftarrow 1$  to  $n$  do
4.   For  $j \leftarrow 1$  to  $n$  do
5.      $l'_{ij} \leftarrow \infty$
6.     For  $k \leftarrow 1$  to  $n$  do
7.        $l'_{ij} \leftarrow \min(l'_{ij}, l_{ik} + w(k,j))$
8. Return  $L'$

矩阵乘法  $LW$

替换

 $\rightarrow \min$   
 $\ast \rightarrow +$

Extended\_Shortest\_Path(L,W)



HIT  
CS&E

## 降低算法的时间复杂度

$$L^{(1)} = L^{(0)} \cdot W = W$$

$$L^{(2)} = L^{(1)} \cdot W = W^2$$

$$L^{(3)} = L^{(2)} \cdot W = W^3$$

$$\vdots$$

$$L^{(n-1)} = L^{(n-2)} \cdot W = W^{n-1}$$

时间复杂度  $O(n^4)$

修改算法完成对前驱矩阵的计算?

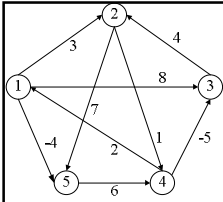
算法 Slow\_All\_Pairs\_Shortest\_Path(W)

Input 图的边加权函数矩阵  $w$

Output all\_pair\_Shortest\_Paths 代价

1.  $n \leftarrow \text{row}[L]$ ;
2.  $L^{(1)} \leftarrow W$
3. For  $m \leftarrow 2$  to  $n-1$  do
4.    $L^{(m)} \leftarrow \text{Extended\_Shortest\_Path}(L^{(m-1)}, W)$
5. Return  $L^{(n-1)}$

- 该算法能否检测到图中的负环?
- 如何降低该算法的时间复杂度?




$L^{(1)} = \begin{pmatrix} 0 & 3 & 8 & \infty & -4 \\ \infty & 0 & \infty & 1 & 7 \\ \infty & 4 & 0 & \infty & \infty \\ 2 & \infty & -5 & 0 & \infty \\ \infty & \infty & \infty & 6 & 0 \end{pmatrix}$

$L^{(3)} = \begin{pmatrix} 0 & 3 & -3 & 2 & -4 \\ 3 & 0 & -4 & 1 & -1 \\ 7 & 4 & 0 & 5 & 11 \\ 2 & -1 & -5 & 0 & -2 \\ 8 & 5 & 1 & 6 & 0 \end{pmatrix}$

$L^{(4)} = \begin{pmatrix} 0 & 1 & -3 & 2 & -4 \\ 3 & 0 & -4 & 1 & -1 \\ 7 & 4 & 0 & 5 & 3 \\ 2 & -1 & -5 & 0 & -2 \\ 8 & 5 & 1 & 6 & 0 \end{pmatrix}$

例

© DB-L



HIT  
CS&E

## 降低算法的时间复杂度

Improving the running time:

$$L^{(1)} = W$$

$$L^{(2)} = W^2 = W \cdot W$$

$$L^{(4)} = W^4 = W^2 \cdot W^2$$

$$\vdots$$

$$L^{(2^{\lceil \log(n-1) \rceil})} = W^{2^{\lceil \log(n-1) \rceil}}$$

i.e., using repeating squaring!

Time complexity:  $O(n^3 \log n)$ .

HIT CS&E

算法 Faster\_All\_Pairs\_Shortest\_Path( $W$ )

Input 图的边加权函数矩阵 $W$

Output all\_pair\_Shortest\_Paths 代价

1.  $n \leftarrow \text{row}[L]$ ;
2.  $L^{(1)} \leftarrow W$
3. while  $m < n-1$  do
4.    $L^{(m)} \leftarrow \text{Extended\_Shortest\_path}(L^{(m)}, L^{(m)})$
5.    $m \leftarrow 2m$
5. Return  $L^{(m)}$

注意:  $L^{(n-1)} = L^{(n)} = \dots$

HIT CS&E

### 7.4.3 Floyd-Warshall 算法

- 动态规划算法求解all-pairs最短路径
  - 遵循动态规划算法设计的一般过程
  - 运行时间为 $O(V^3)$
  - 允许有负权值的边
  - 但不允许有负环
- 给出一个类似的算法寻找有向图的传递闭包

HIT CS&E

### 优化子结构

- 设 $i$ 到 $j$ 的最短路径为 $p: i \rightarrow \dots \rightarrow k \rightarrow \dots \rightarrow j$ 
  - 矩阵算法的优化子结构考虑 $j$ 在 $p$ 上的前驱
  - Floyd-Warshall算法的优化子结构将考虑路径 $p$ 上经过的中间结点集
- 设 $V = \{1, 2, \dots, n\}$      $A_k = \{1, 2, \dots, k\} \subseteq V$ 
  - $p$ 是从 $i$ 到 $j$ 的中间结点全属于 $A_k$ 的最短路径
  - $p'$ 是从 $i$ 到 $j$ 的中间结点全属于 $A_{k-1}$ 的最短路径
  - Floyd-Warshall算法通过考察 $p$ 和 $p'$ 之间的关系建立优化子结构

HIT CS&E

$P: A_{k-1} \rightarrow j$

如果路径 $p$ 的中间结点全属于 $A_{k-1}$ , 则其中间结点也全属于 $A_k$

$p_1 \rightarrow k \rightarrow p_2$

如果路径 $p$ 的中间结点全属于 $A_k$ 且包含了结点 $k$

- $p$ 可以从 $k$ 处断开成两条路径
- $p_1: i \rightarrow \dots \rightarrow k$ 是从 $i$ 到 $k$ 的中间结点全属于 $A_{k-1}$ 的最短路径
- $p_2: k \rightarrow \dots \rightarrow j$ 是从 $k$ 到 $j$ 的中间结点全属于 $A_{k-1}$ 的最短路径

HIT CS&E

### 例

$i=4, j=5$

$k=0$

$k=1$

$k=2$

$k=3$

HIT CS&E

### 递归关系的建立

- 令 $d_{ij}^{(k)}$  = 从 $i$ 到 $j$ 的中间结点全属于 $A_k$ 的最短路径的代价
  - $d_{ij}^{(k)} = w(i, j)$  if  $k=0$  (此时路径至多一条边)
  - $d_{ij}^{(k)} = \min\{d_{ij}^{(k-1)}, d_{ik}^{(k-1)} + d_{kj}^{(k-1)}\}$  if  $k \geq 1$
  - $D^{(n)} = (d_{ij}^{(n)})_{n \times n}$  给出最终答案,  $d_{ij}^{(n)} = \delta(i, j)$





## Floyd-Warshall算法

算法Floyd\_Warshall( $W$ )

Input 图的边加权函数矩阵 $W$

Output all\_pair\_Shortest\_Paths代价

1.  $n \leftarrow \text{row}[L]$ ;
2.  $D^{(0)} \leftarrow W$
3. For  $k \leftarrow 1$  to  $n$  do
4.   For  $i \leftarrow 1$  to  $n$  do
5.     For  $j \leftarrow 1$  to  $n$  do
6.        $d_{ij}^{(k)} = \min\{d_{ij}^{(k-1)}, d_{ik}^{(k-1)} + d_{kj}^{(k-1)}\}$
5. Return  $D^{(n)}$

定义前驱矩阵 $\pi^{(k)} = (\pi_{ij}^{(k)})_{n \times n}$

- 如何在计算 $D^{(k)}$ 的过程中, 完成 $\pi^{(k)}$ 的计算
- 如何由 $\pi^{(n)}$ 给出最短路径



## 有向图的传递闭包

- 给定有向图 $G=(V,E)$ , 其中 $V=\{1,2,\dots,n\}$ 
  - $\forall i,j \in V$ , 在 $G$ 中从 $i$ 到 $j$ 是否有有向路径可达
  - $G$ 的传递闭包是有向图 $G^*=(V,E^*)$ , 其中 $E^*=\{(i,j) | \text{在} G \text{中存在从} i \text{到} j \text{的有向路径}\}$
  - 令 $G$ 中每条边的权值为1, 调用Floyd-Warshall算法可以计算传递闭包